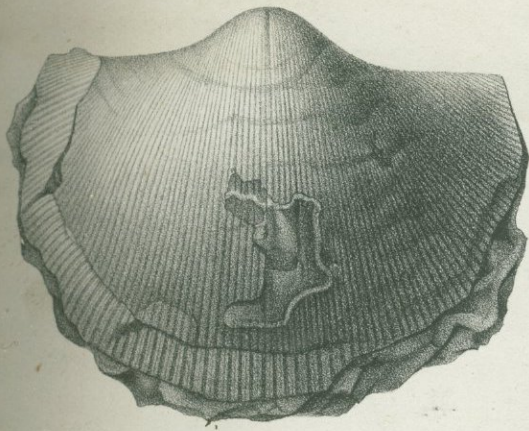
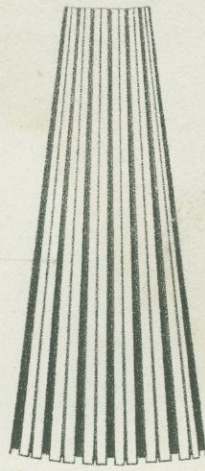


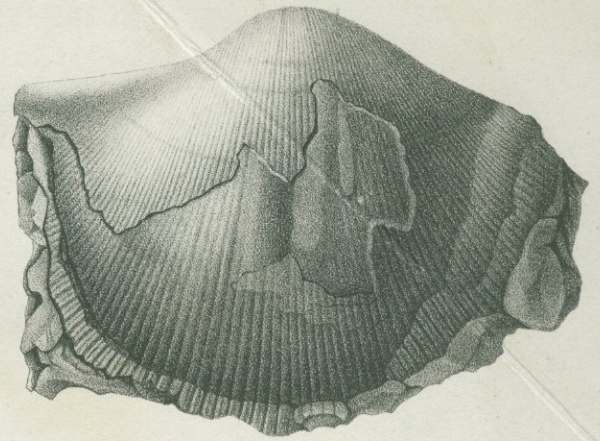
1. a.



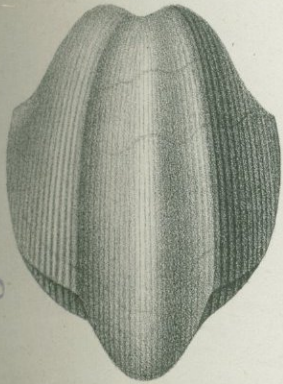
1. d.



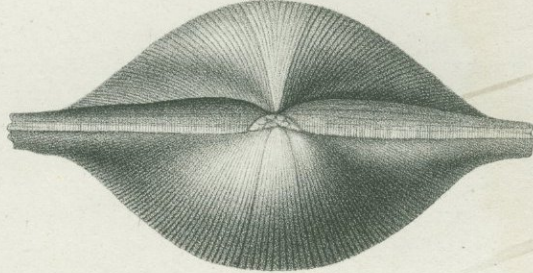
1. b.



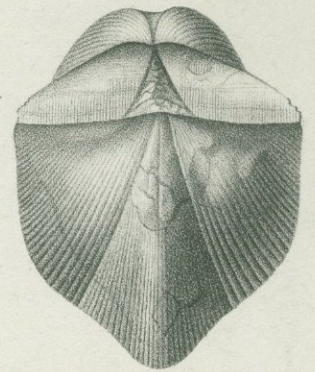
2. a.



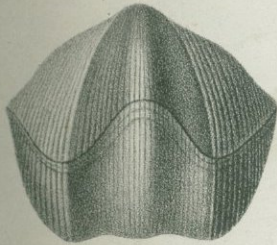
1. c.



2. b.



2. c.



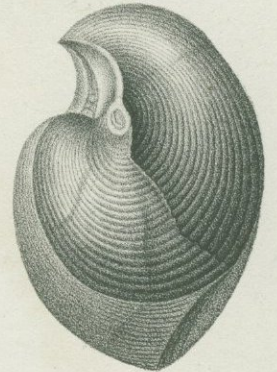
1. e.



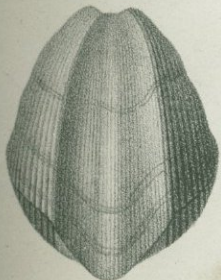
1. f.



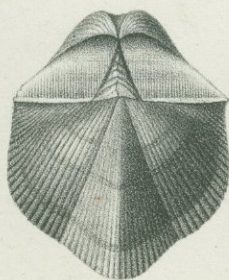
2. d.



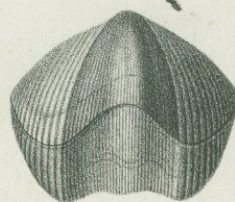
3. a.



3. b.

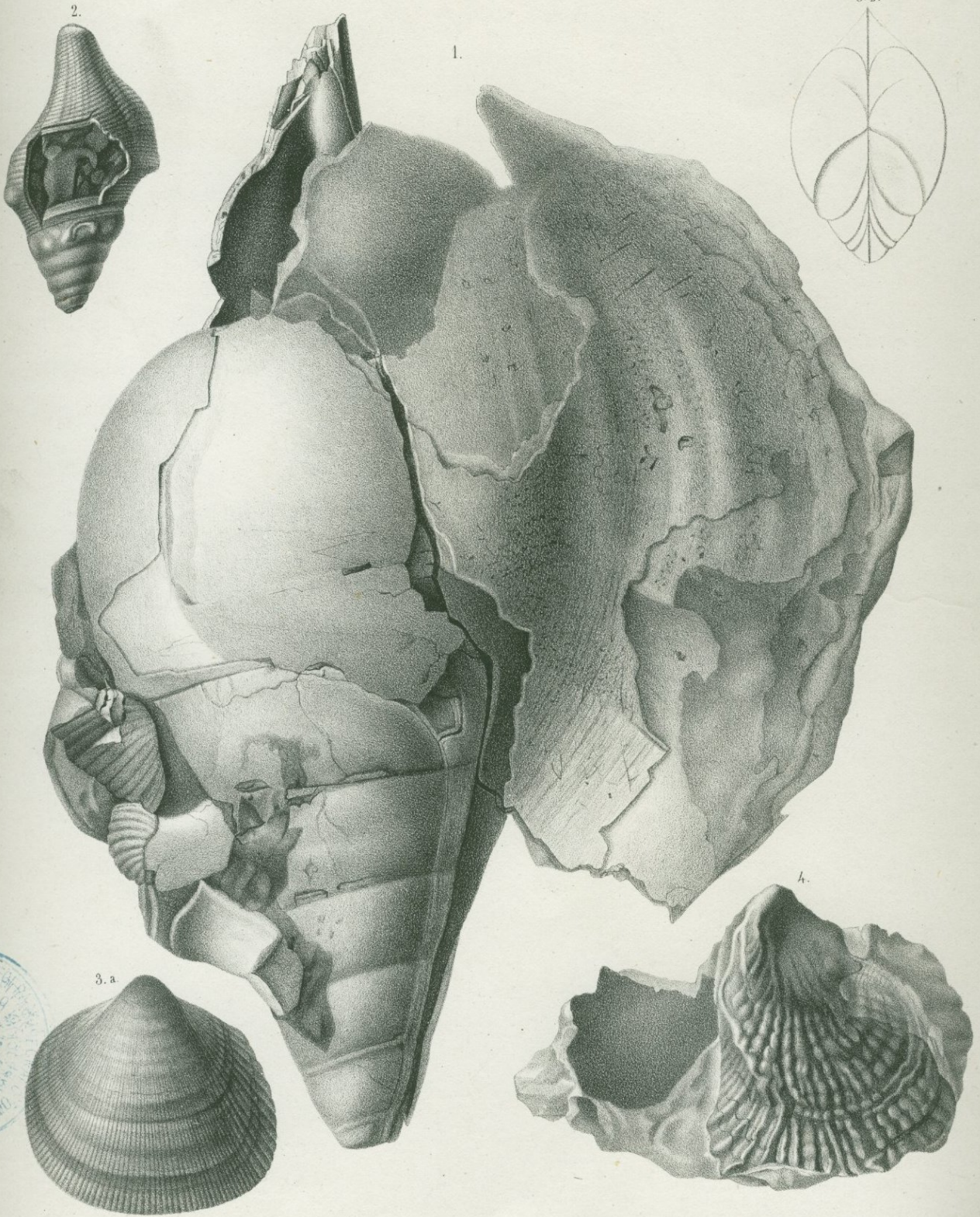


3. c.



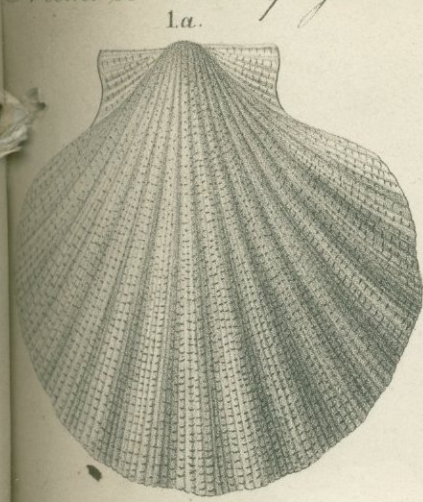
3. d.





0893

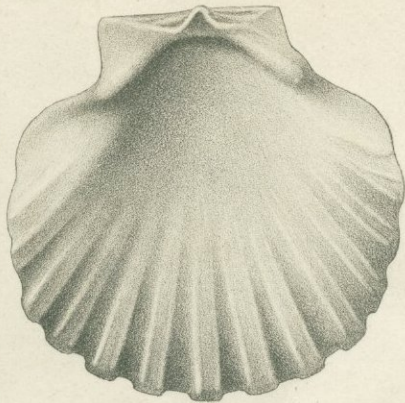




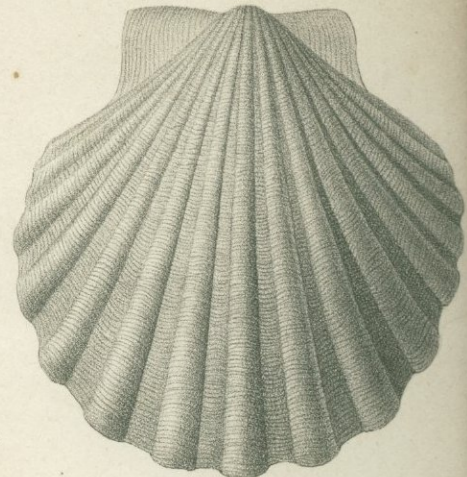
1.a.



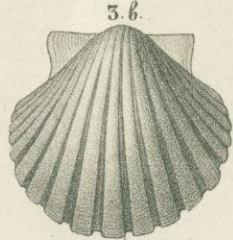
3.a.



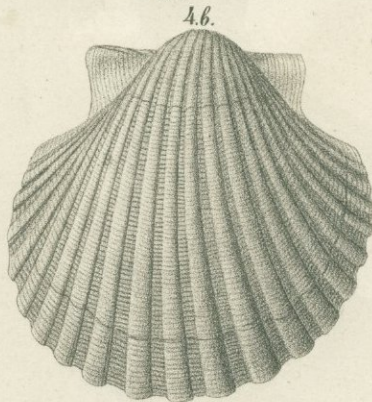
4.a.



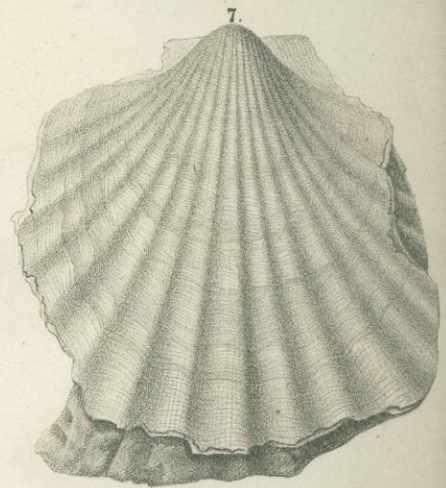
6.a.



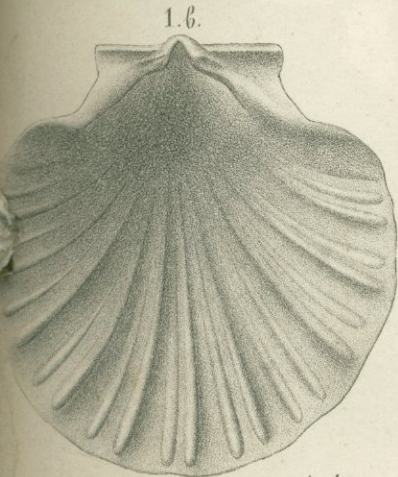
3.b.



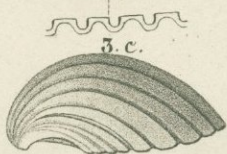
4.b.



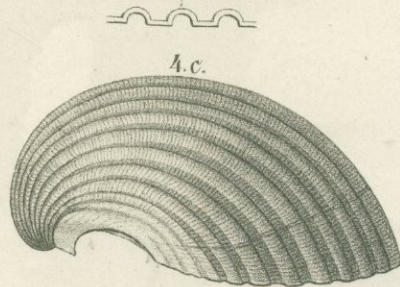
7.



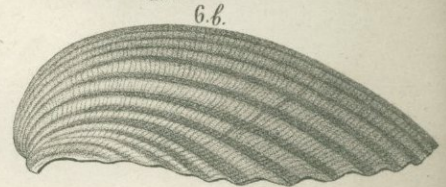
1.b.



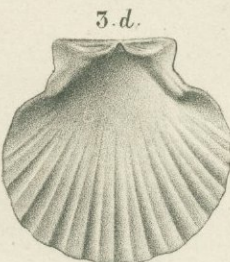
3.c.



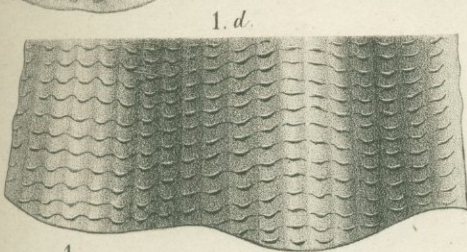
4.c.



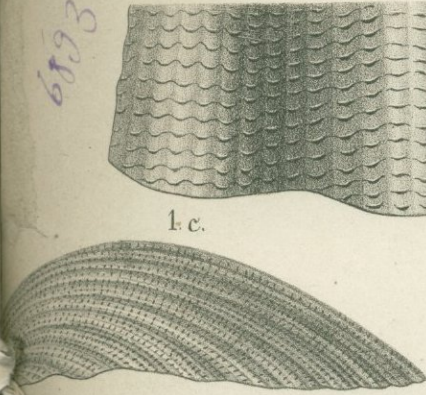
6.b.



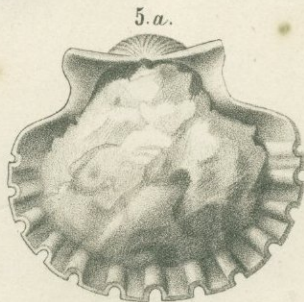
3.d.



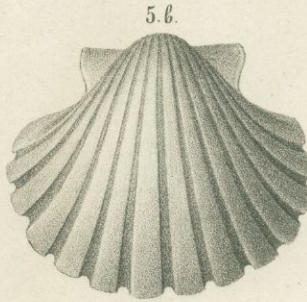
1.d.



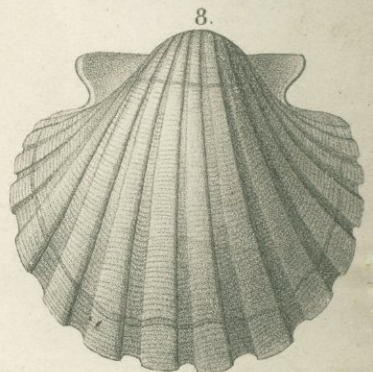
1.c.



5.a.



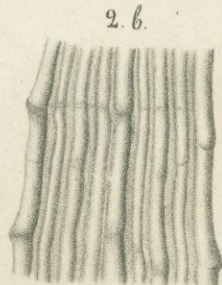
5.b.



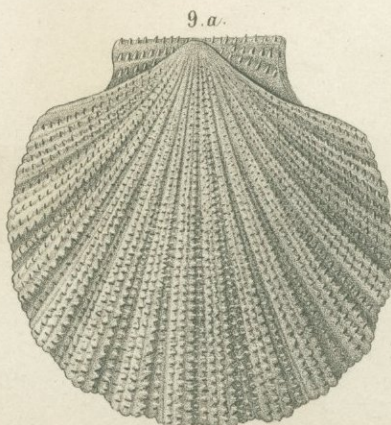
8.



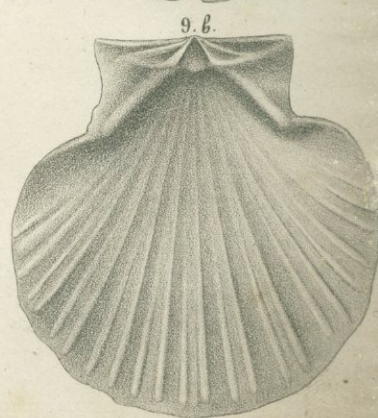
2.a.



2.b.



9.a.

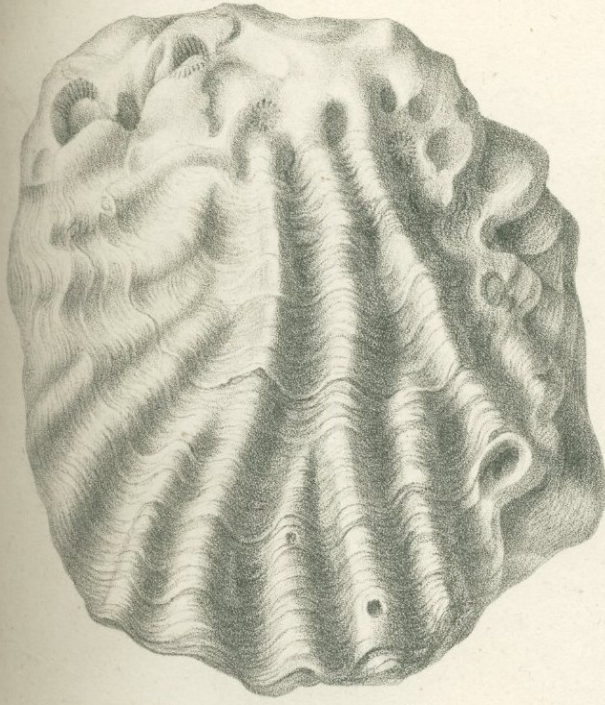


9.b.

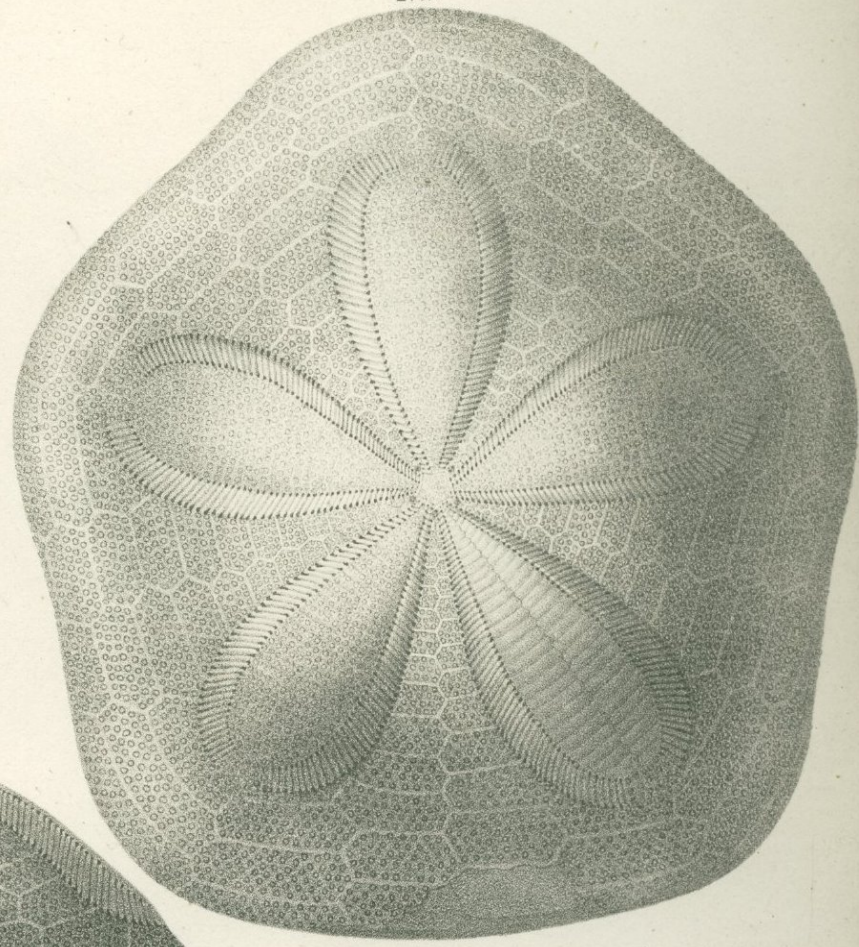
689

Handwritten text and a purple stamp at the bottom of the page.

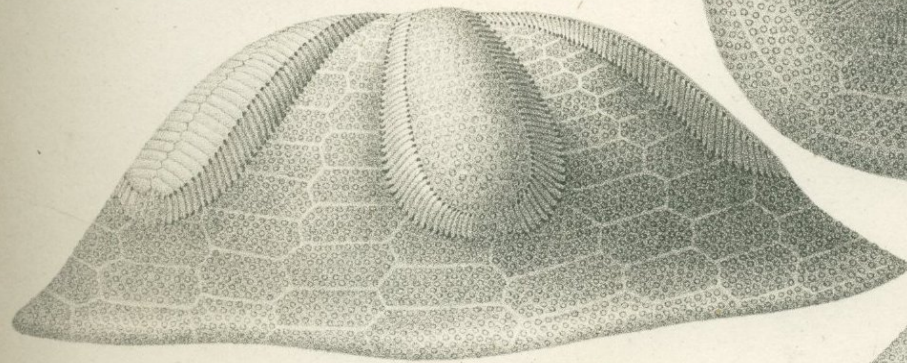
1. a.



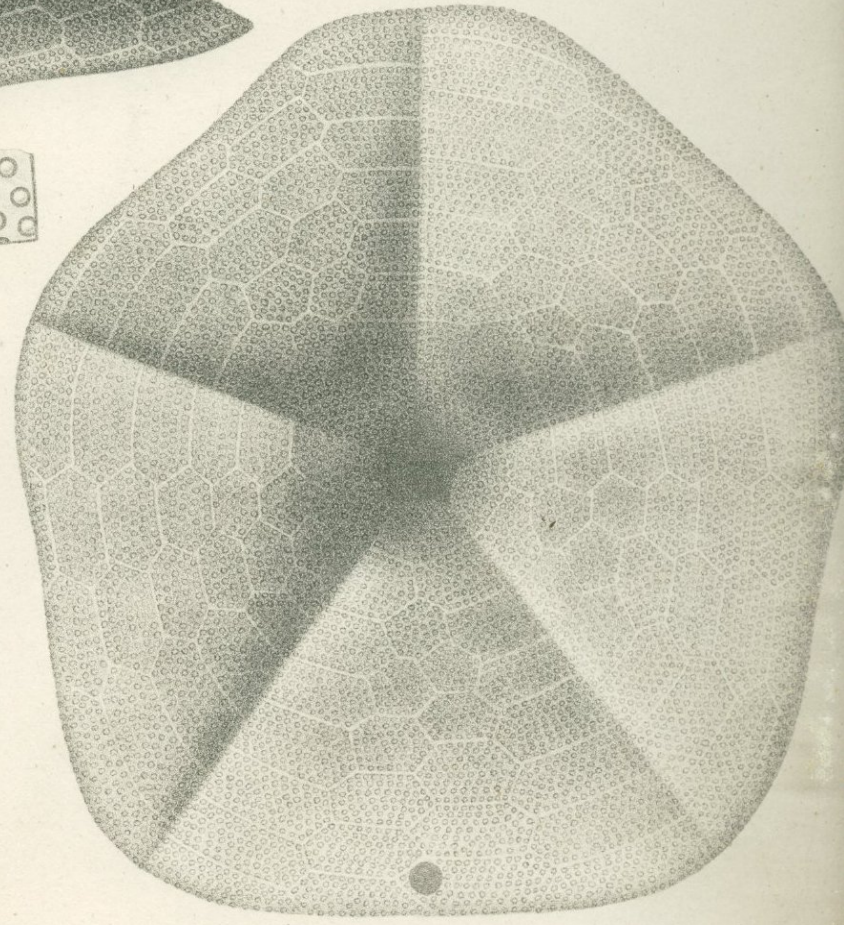
2. a.



2. b.



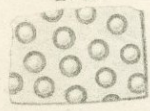
2. c.

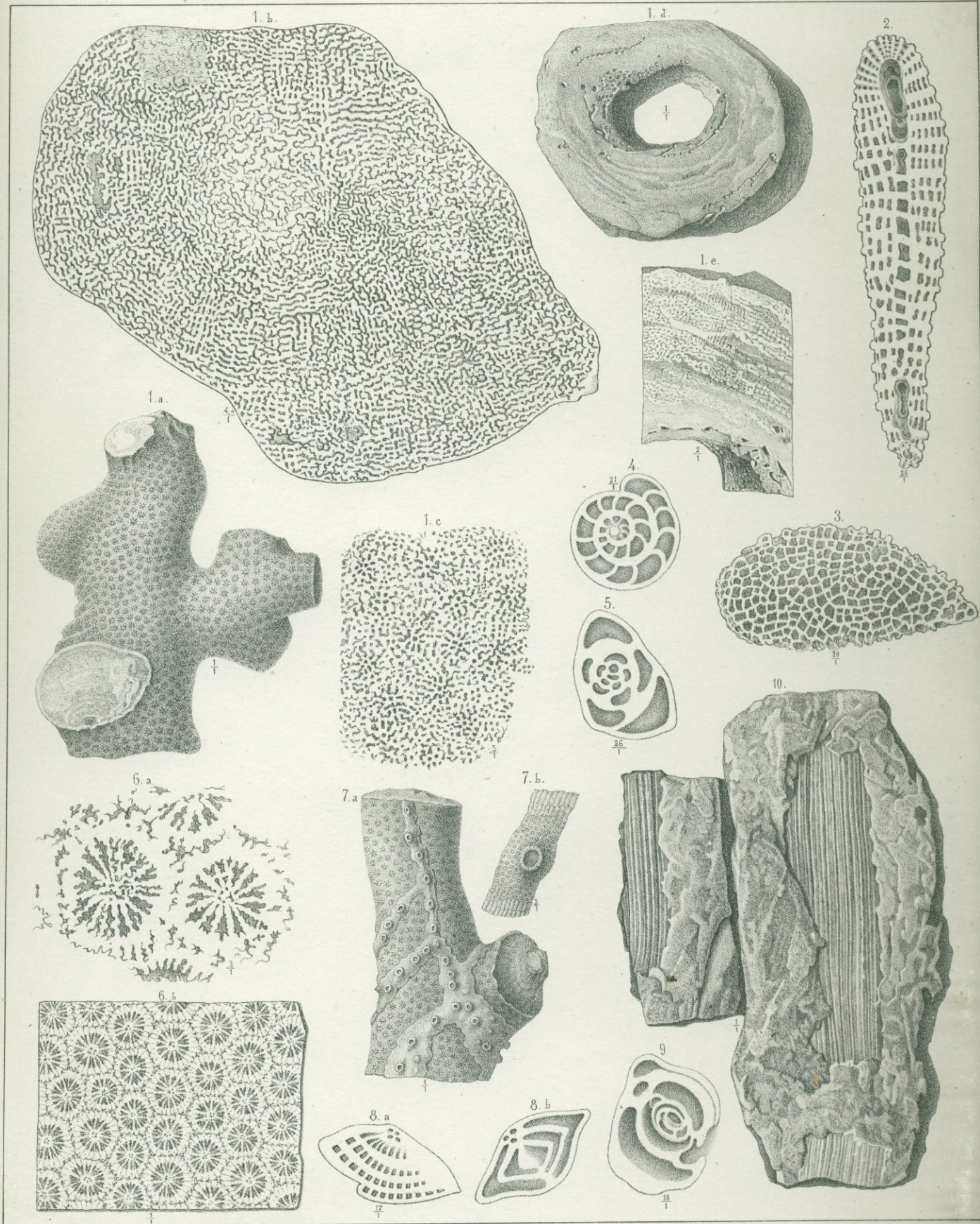


1. b.



2. d.





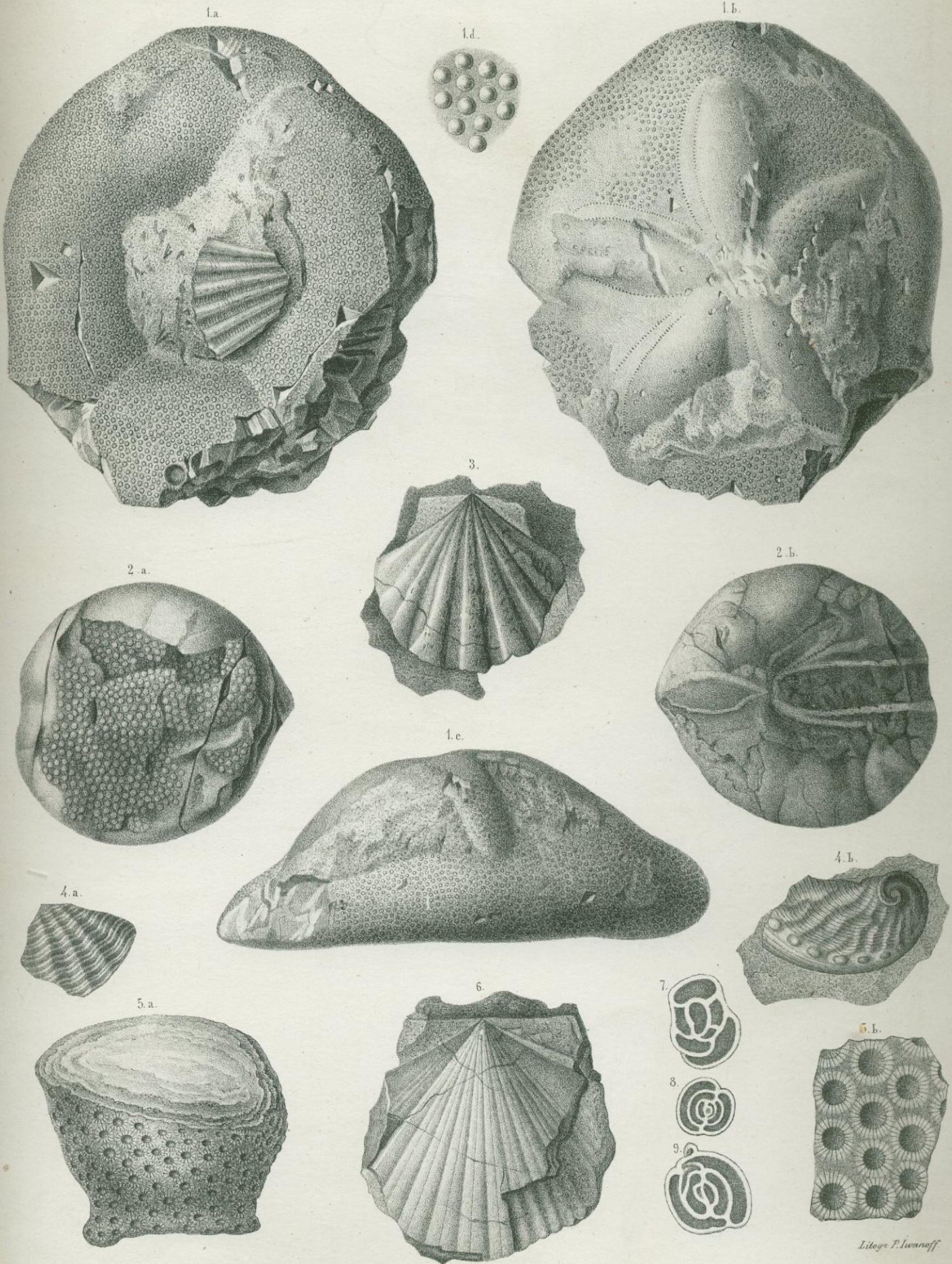


Fig. 1 a.



1b.



1c.



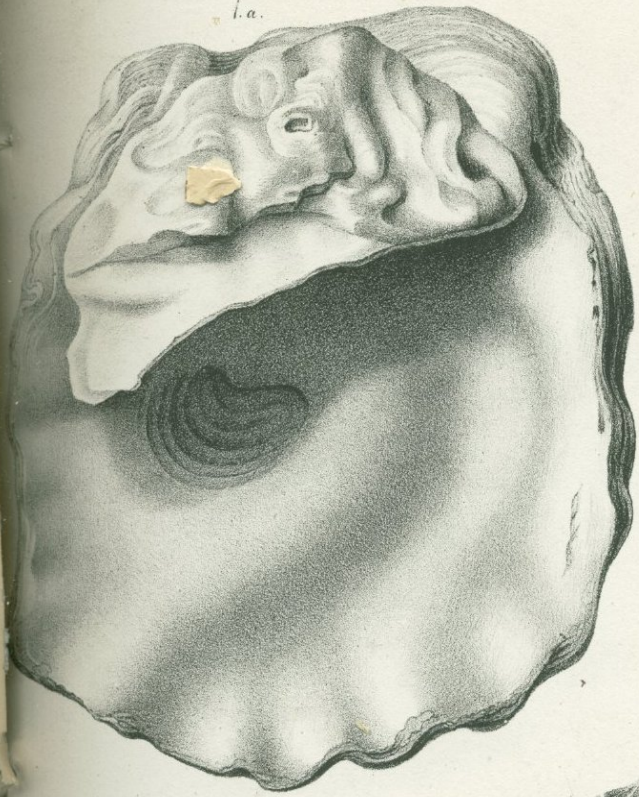
6833

Ad nat. del. Huhn

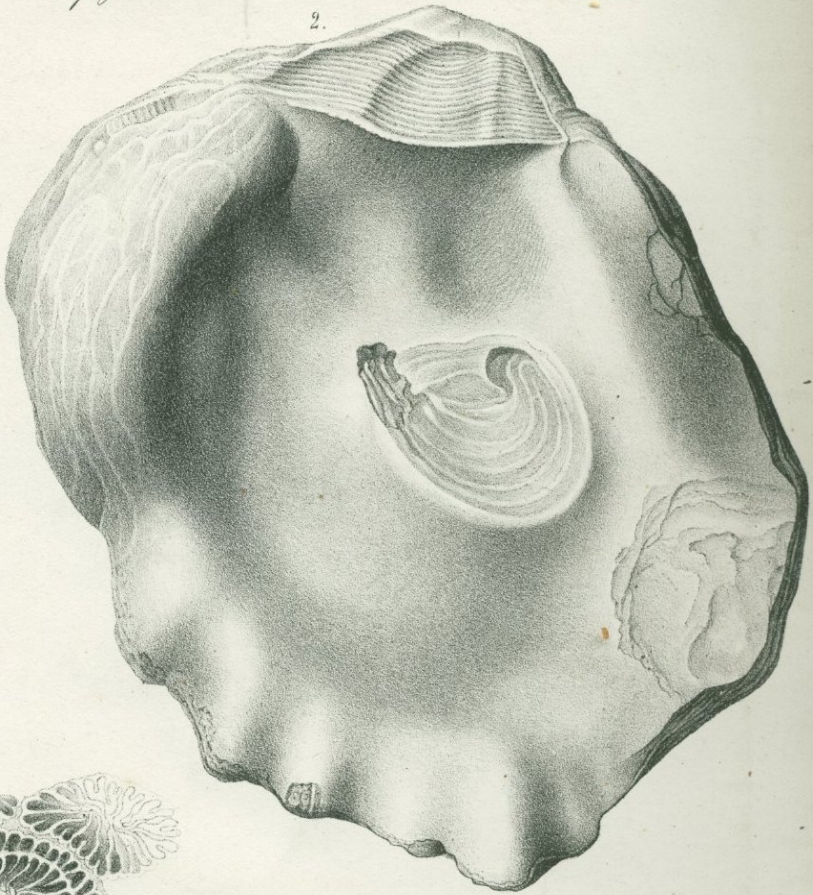
Agavites araratica.

Imp. V. D'Harlingue.

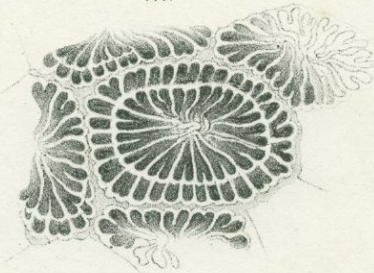
1. a.



2.



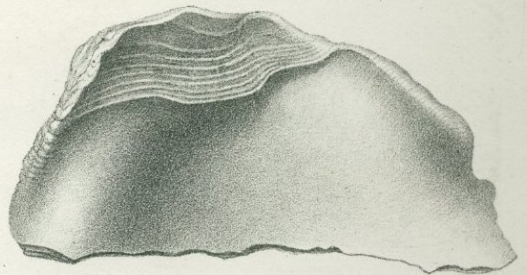
4. b.



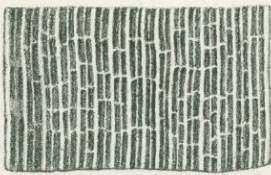
3.



1. b.



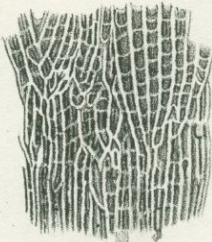
4. c.



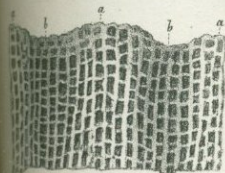
6.



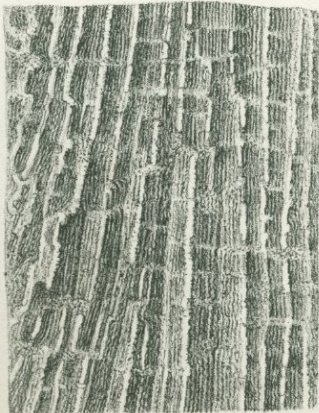
4. d.



5.



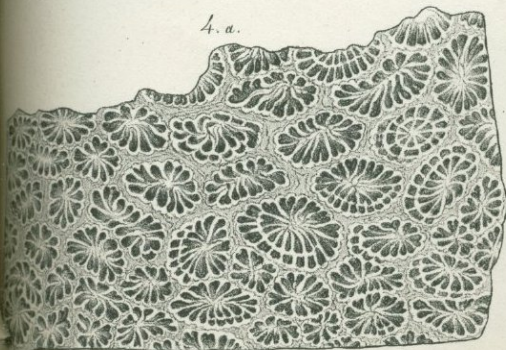
4. e.



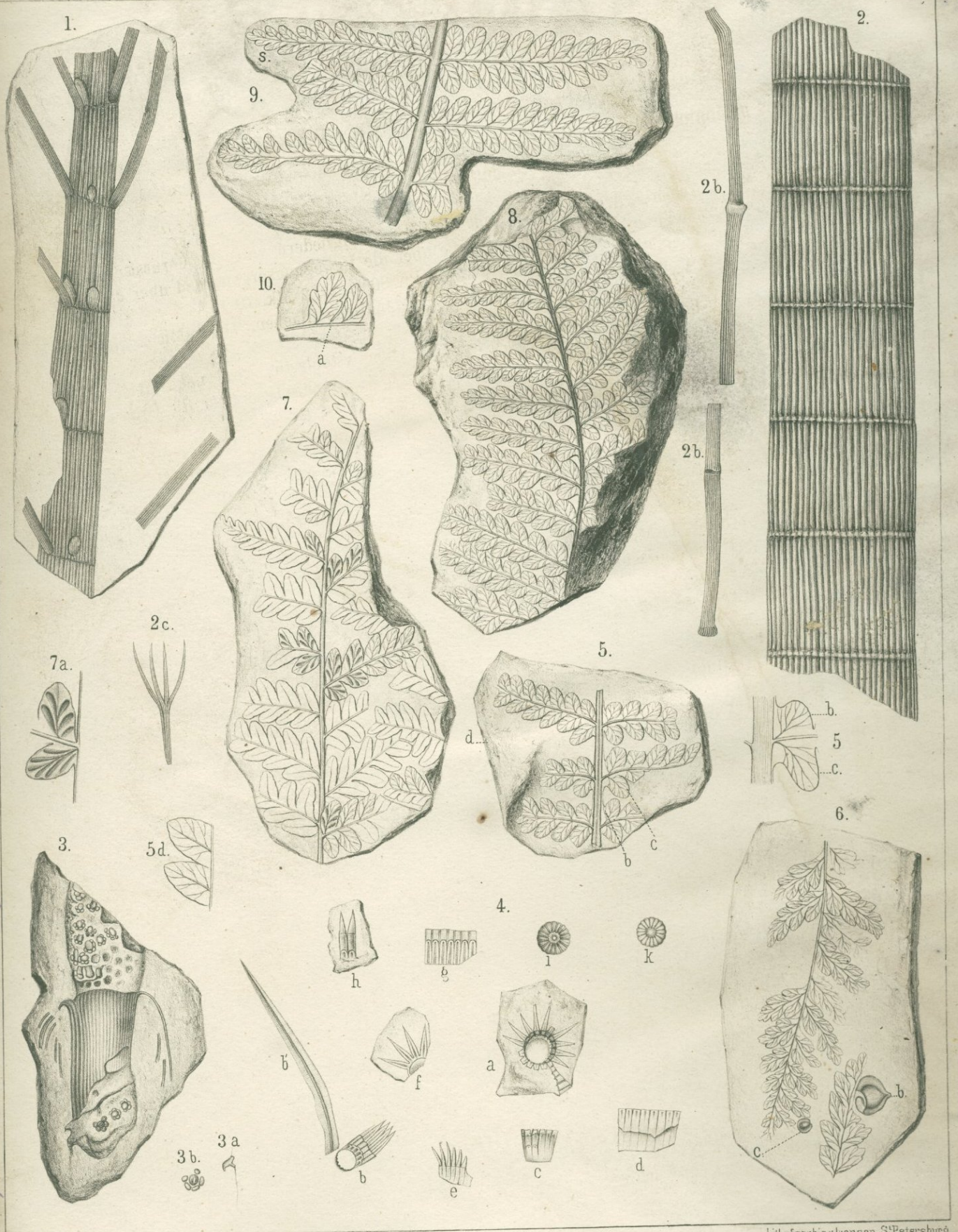
7.



4. a.



6893

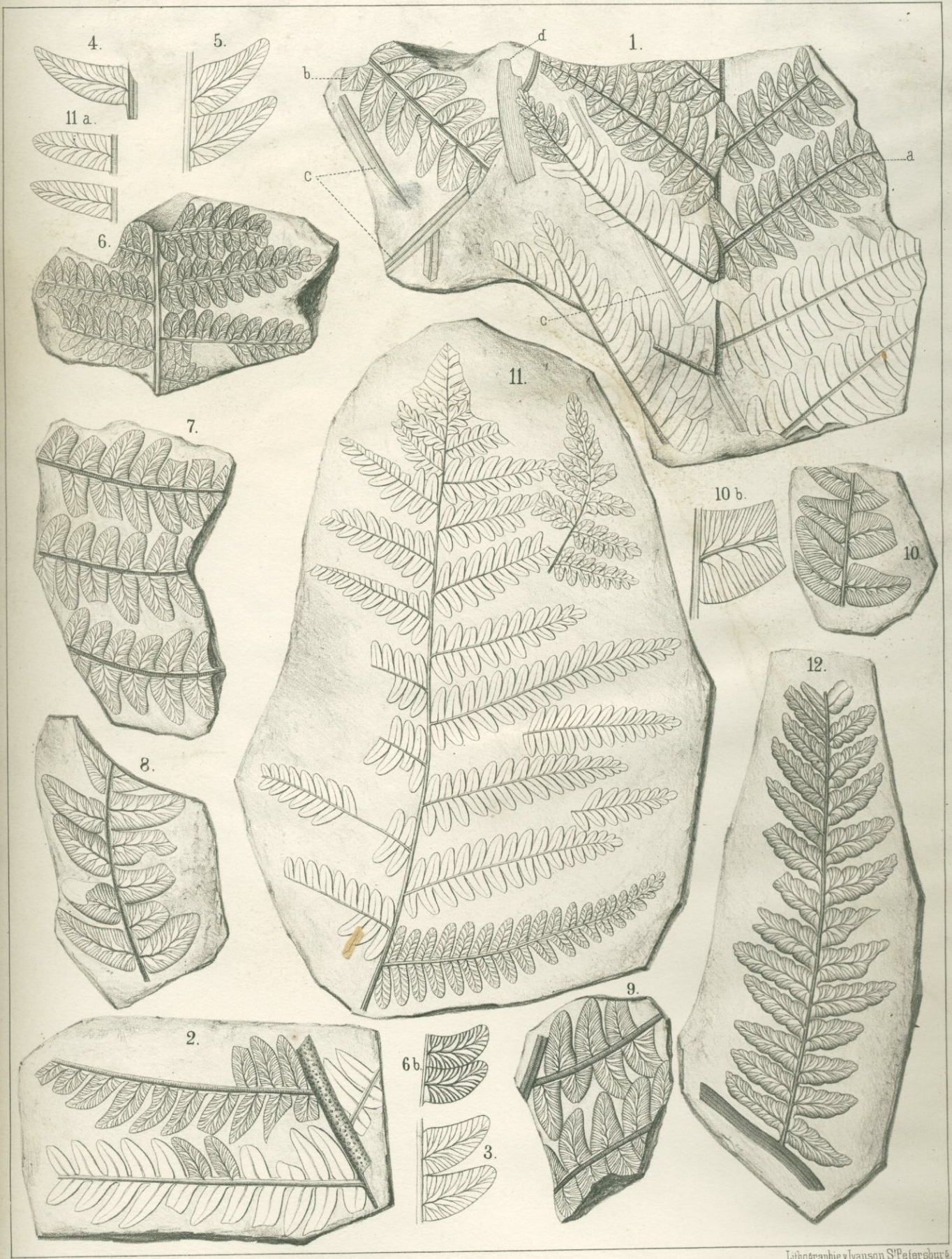


Nach d. Nat. bez. v. Schmalhausen.

Lithographie v. Ivanson, S. Petersburg.

Fig. 1-3. *Phyllothea deliquescens*. 4. *Ph. Socolowskii* 5-9. *Asplenium petruschinense*.
10. *Aspl. petruschinense* var. *dentatum*.

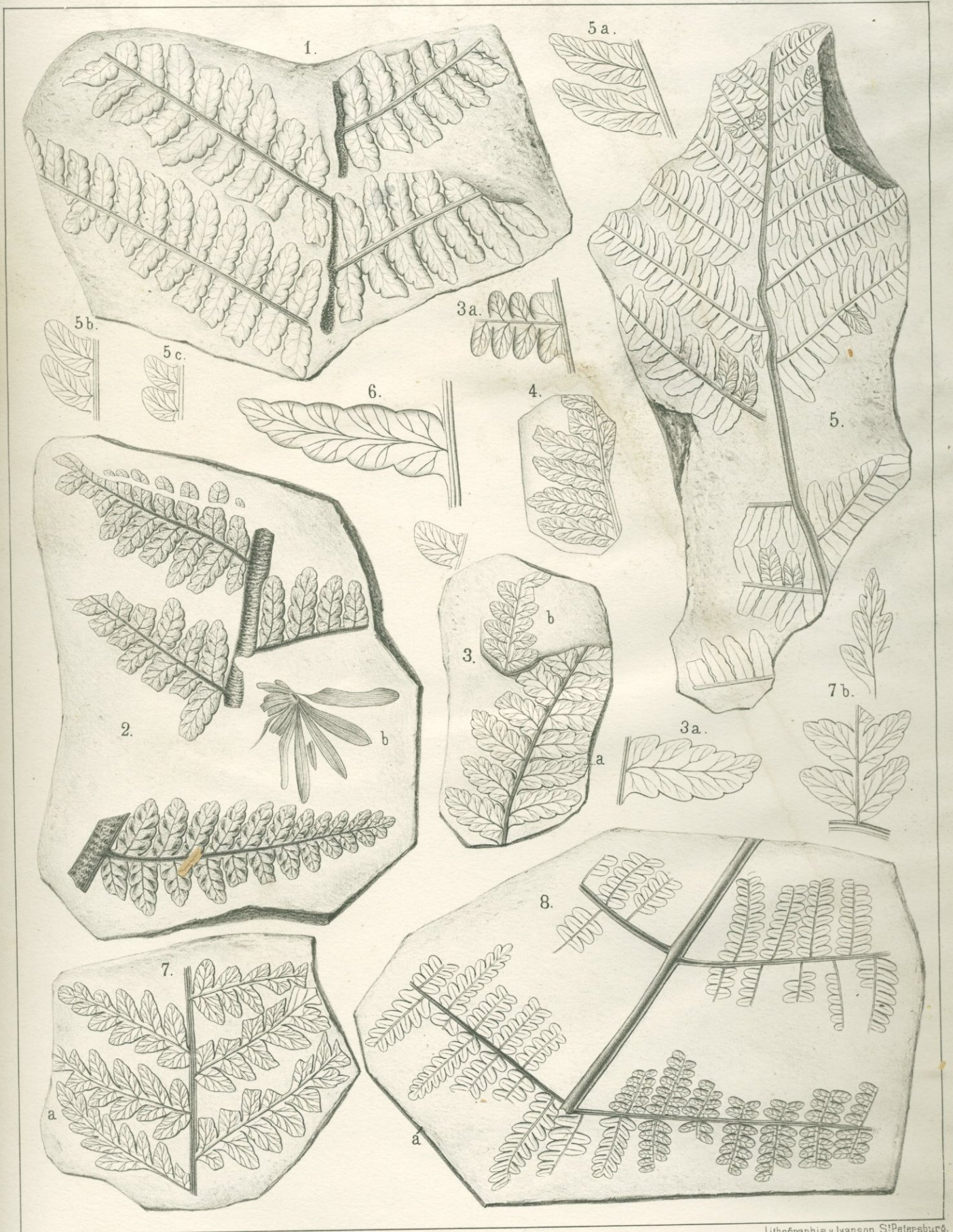
5998
5998



Nach d. Nat. gez. v. Schmalhausen.

Lithographie v. Ivanov, S. Petersburg.

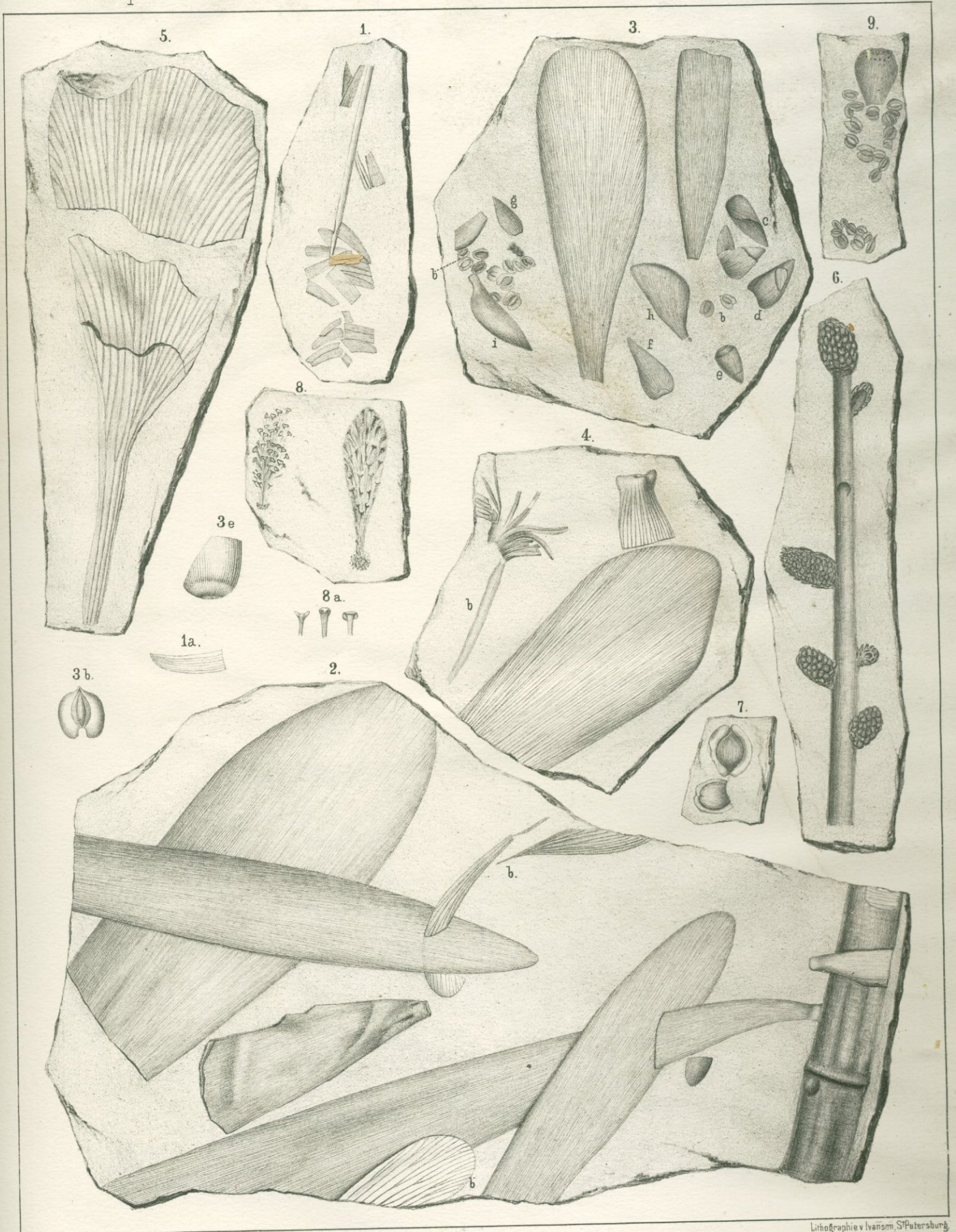
Fig. 1-10. *Asplenium whitbiense*. 11. *Aspl. argutulum*. 12. *Cyathea Tchihatchewi*.



Nach d. Nat. gez. Schmalhausen.

Lithographie v. Ivanson, St. Petersburg.

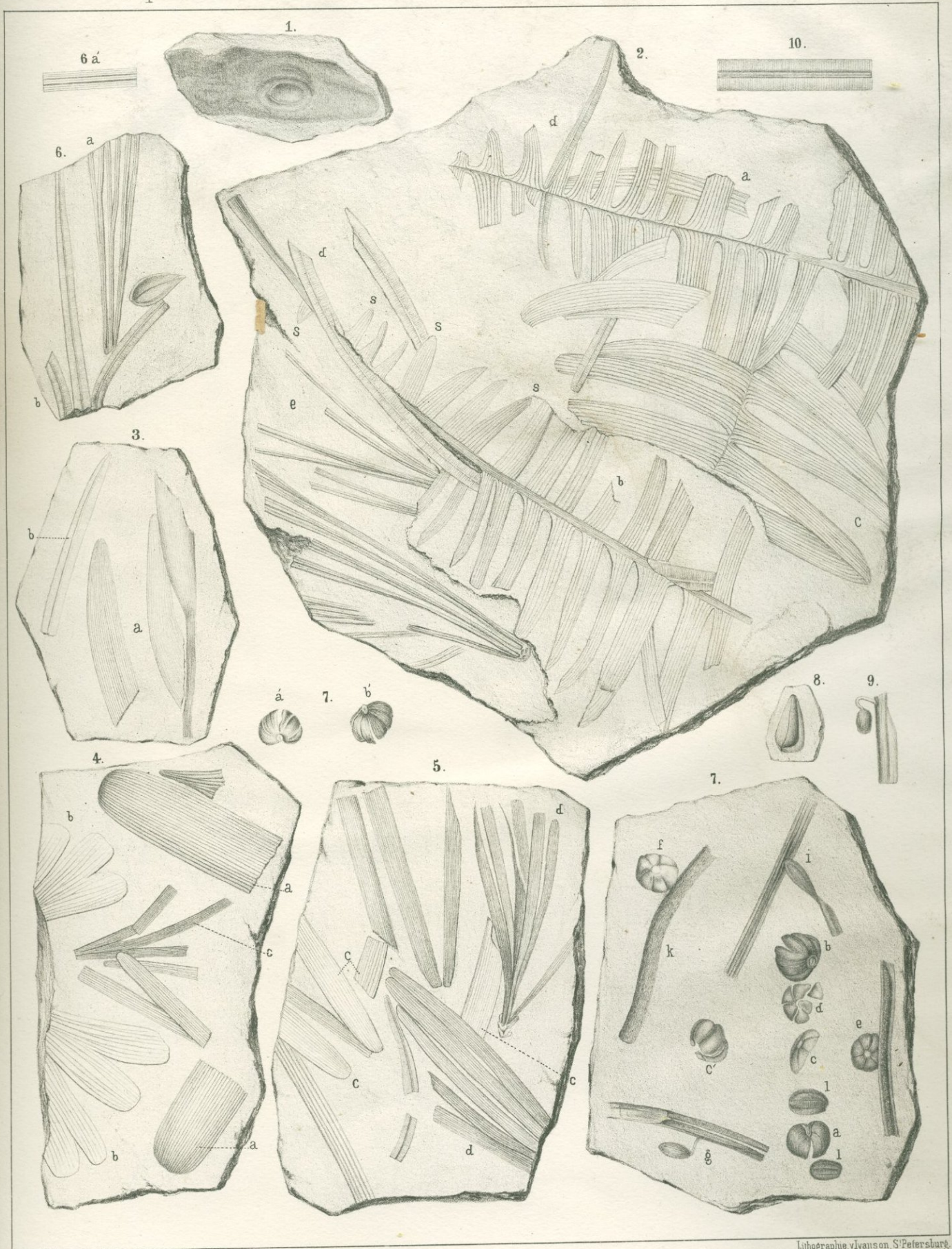
Fig. 1-6. *Cyathea Tchihatchewi*. 7. *Asplenium petruschinense* var. *dentatum*. 8. *Pecopteris recta*.
2 b. *Phyllothea Schtschurowskii*. 3 b. *Aspl. whitbiense*.



Lithographie v. Ivanov, S. Petersburg.

Fig. 1. *Ctenophyllum fragile*. 2-4. *Rhptozamites Goepperti*. 2 b. *Gingko sibirica*? 3 b. 9. *Samaropsis. parvula*.
4. 6. *Phyllothea Schtschurowskii* 5. *Gingko cuneata*. 6-8. *Gingko*.

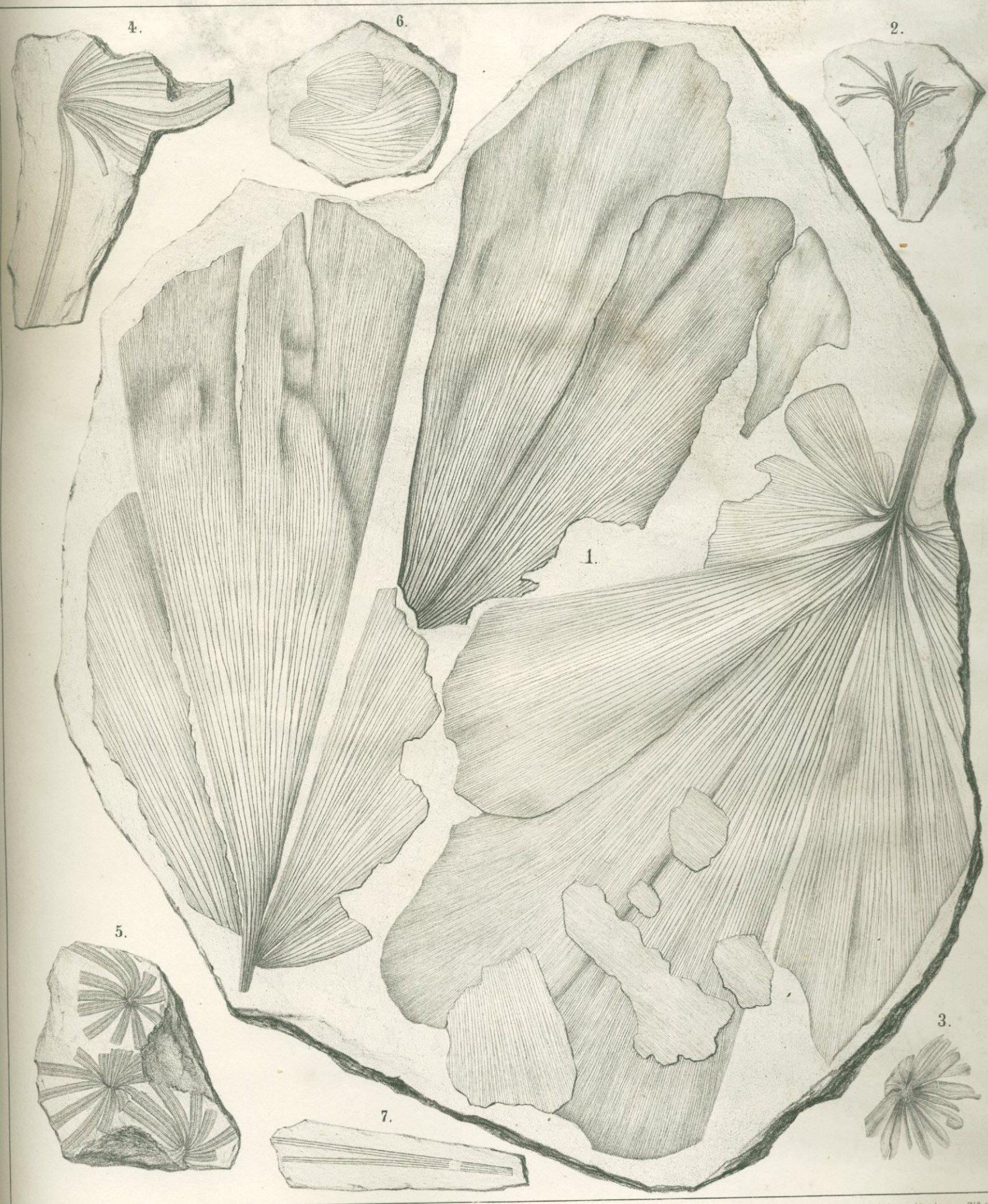
Nach d. Nat. gez. v. Schmalhausen.



Nach. d. Nat. gez. v. Schmalhausen.

Lithographie. v. Ivanov, S. Petersburg.

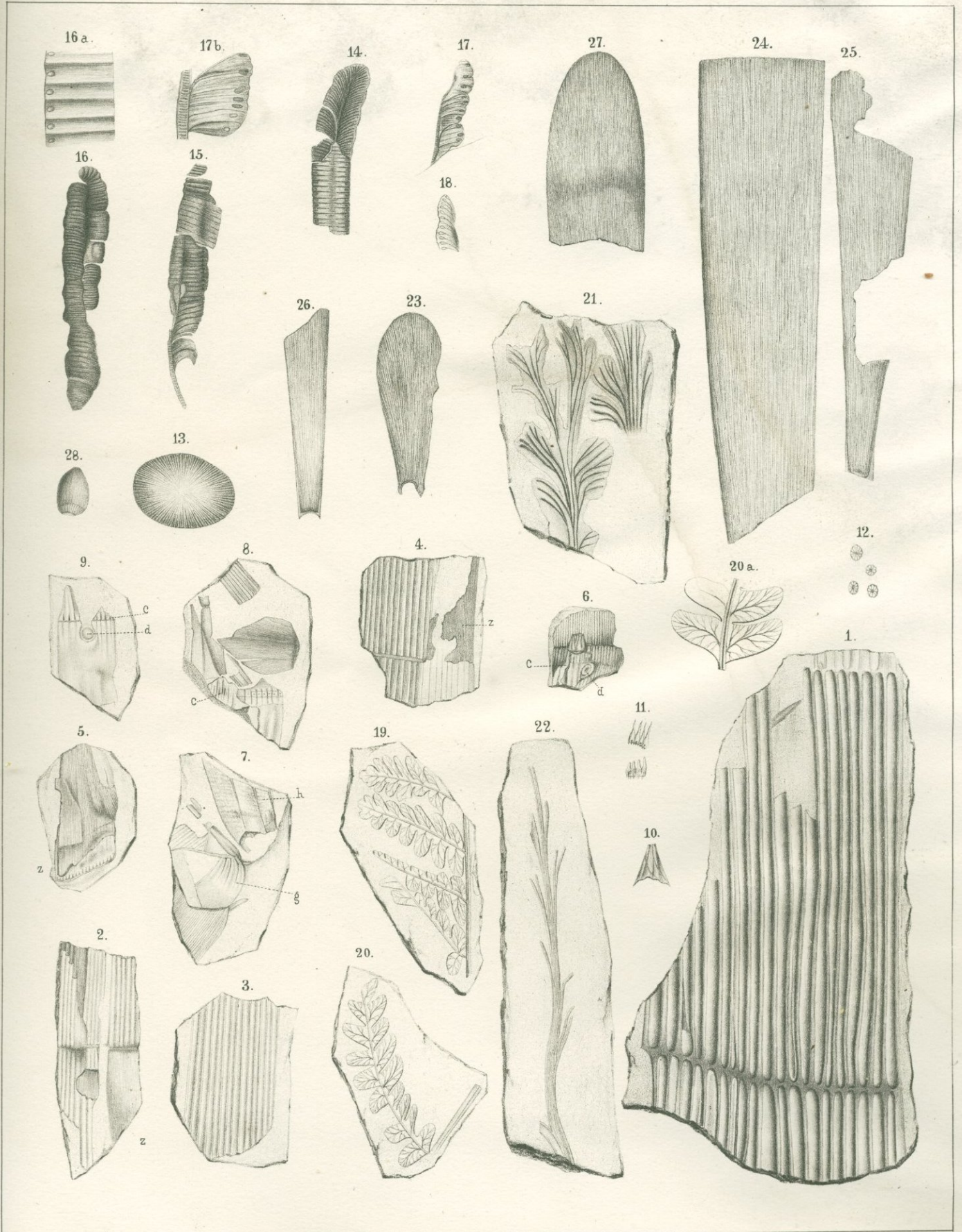
Fig. 1. Rhizopteris. 2. Dioonites inflexus. 3a. 4a. 5c. Podozamites Eichwaldi. 4b. Ginkgo digitata? 4c. 5d. Phoenicopsis angustifolia. 2e. 6a. 7. 8. 9. Czekanowskia rigida. 2d. 3b. 6b. 10. Cycloptis Nordenskiöldi.



Nach d. Nat. gez. v. Schmalhausen.

Lithographie. v. Iwanow, St. Petersburg.

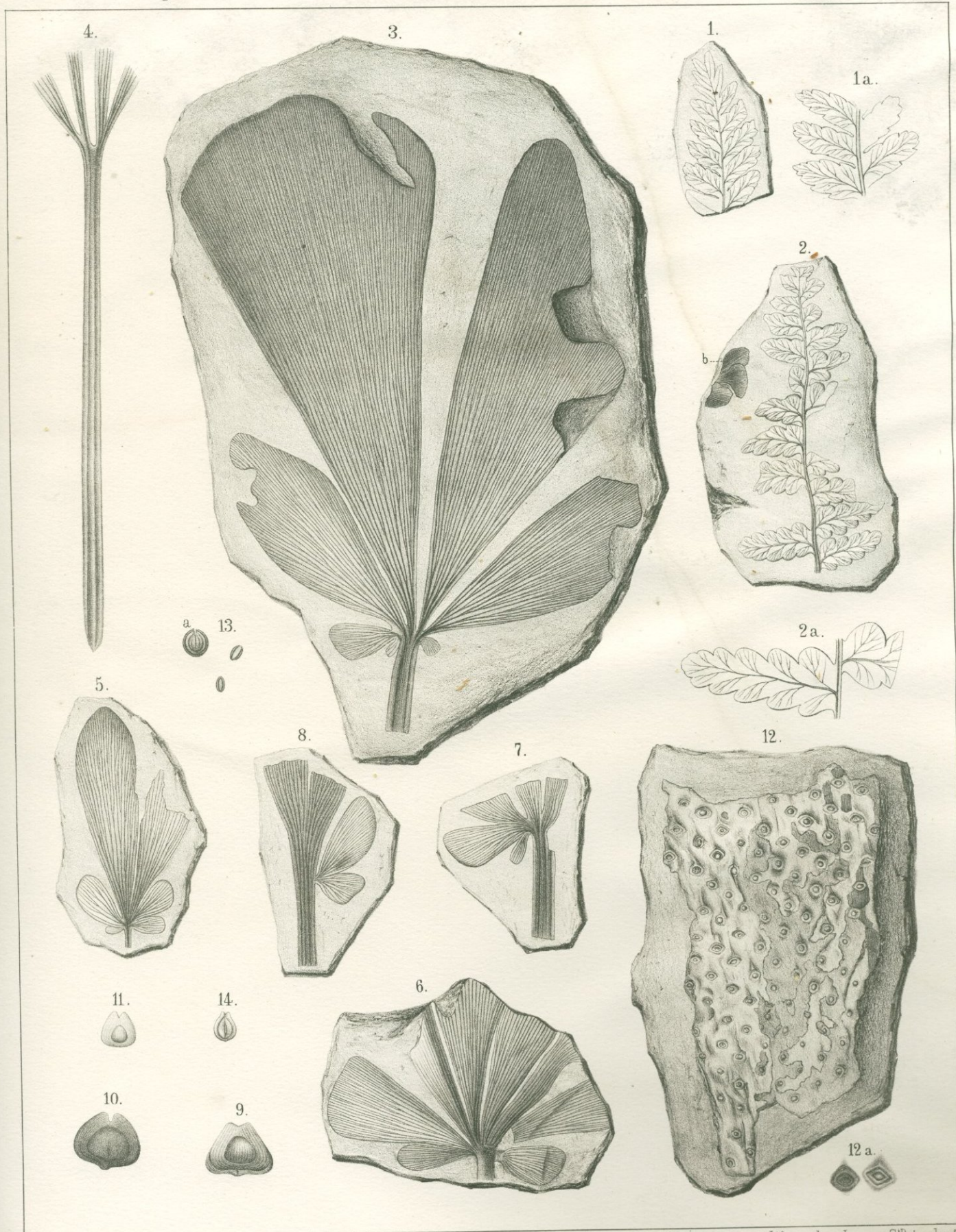
Fig. 1. *Rhipidopsis ginkgoides*. 2. 3. *Phyllothea Schtschurovskii*. 4. 5. *Cyclopitys Nordenskiöldi*. 6. *Squamae*.
7. *Czekanowskia rigida*.



Nach d. Nat.gez. v. Schmalhausen.

Lithographie v. Ivanson, S^t Petersburg

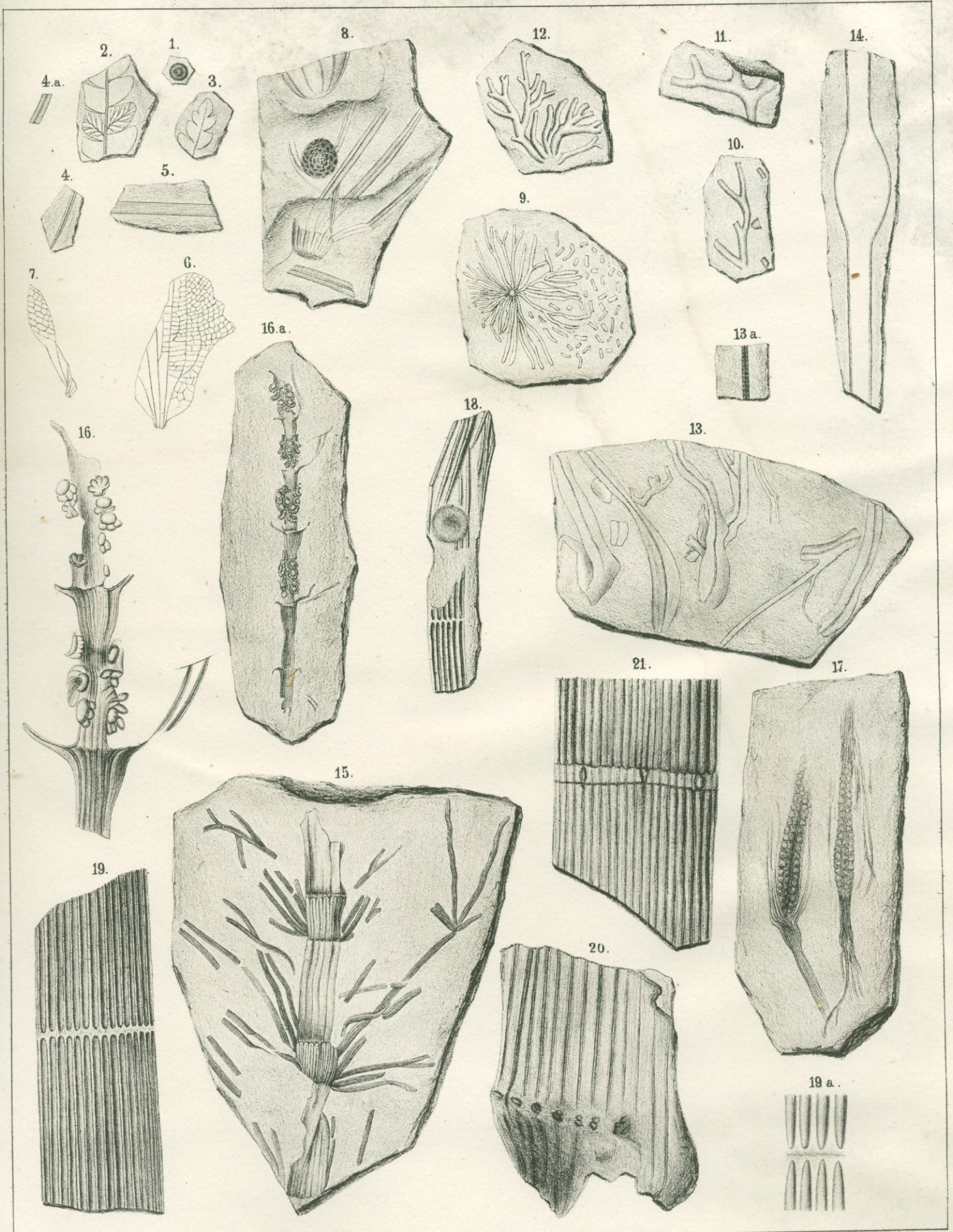
Fig. 1-12. *Phyllothecha striata*. 14-18. *Vertebraria*? 19. 20. *Asplenium whitbiense* var. 21. 22. *Filicites* sp.
23-27. *Rhiphozamites Goepperti*.



Mach. d. Nat. gez. v. Schmalhausen.

Lithographie v. Ivanson, S. Petersburg.

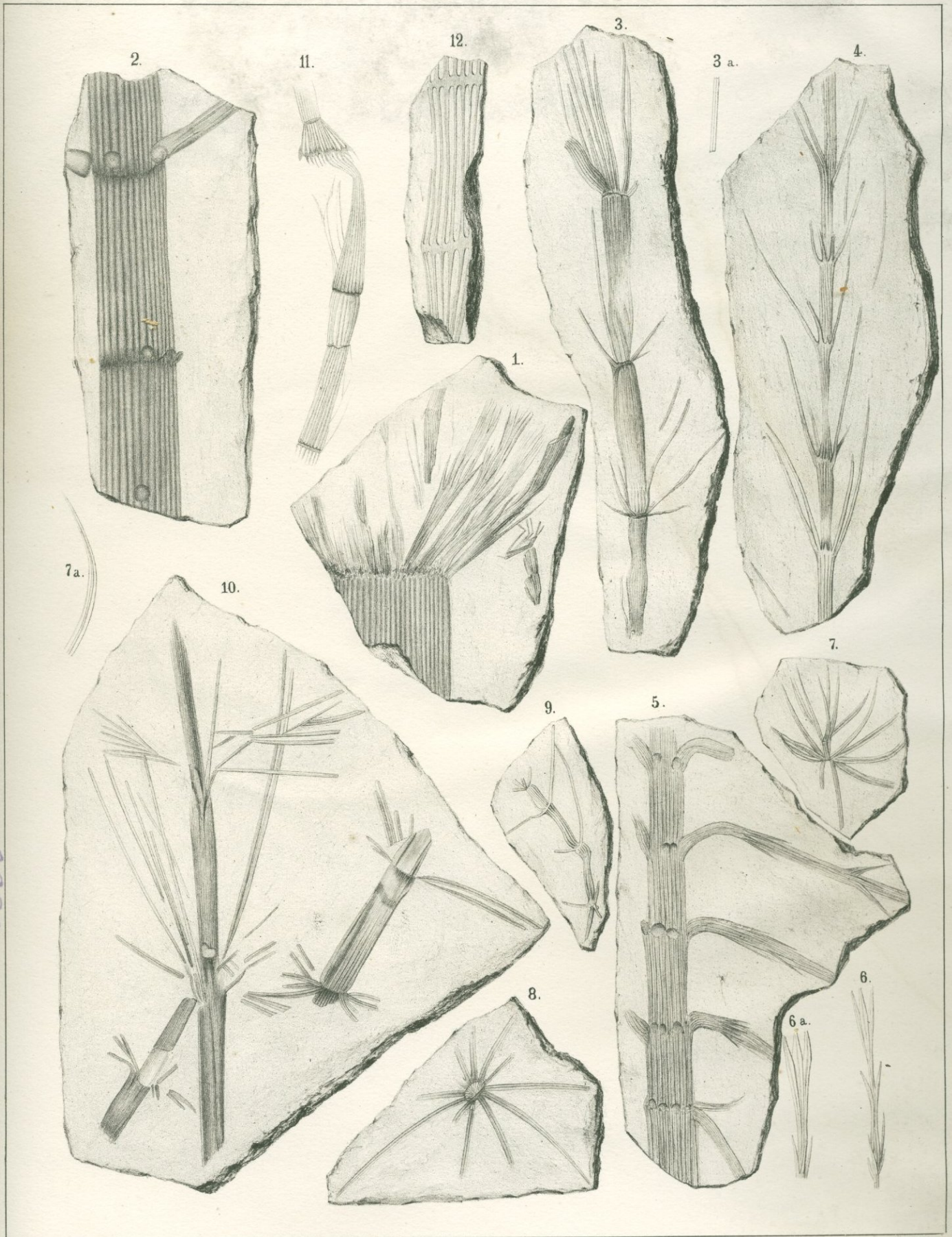
Fig. 1. *Asplenium petruschinense* var. *dentatum*. 2. *Cyathea Tchihatchewi* var. 3-12. *Rhipidopsis ginkgoides*. 13. *Carpolithes*.



Nach d. Nat. ger. v. Schmalhausen.

Lithographie von Son, S. Petersburg.

Fig. 1. Phyllothea? 2 3 Asplenium whitbiense. 4. Czekanowskia rigida? 5. Phoenicopsis angustifolia? 6 7. Phyllites
 8. Cycloptys Nordenskiöldi 9. Chondrites dilapsus. 10-12. Chondrites furcillatus. 13. Haliserites Tunguscanus. 14
 Fucoides sibiricus. 15. Equisetum Czekanowskii. 16. 17. Phyllothea deliquescens 18. Ph. lateralis? 19. 21
 Phyllothea.



6893

Phyllothea deliquescens.

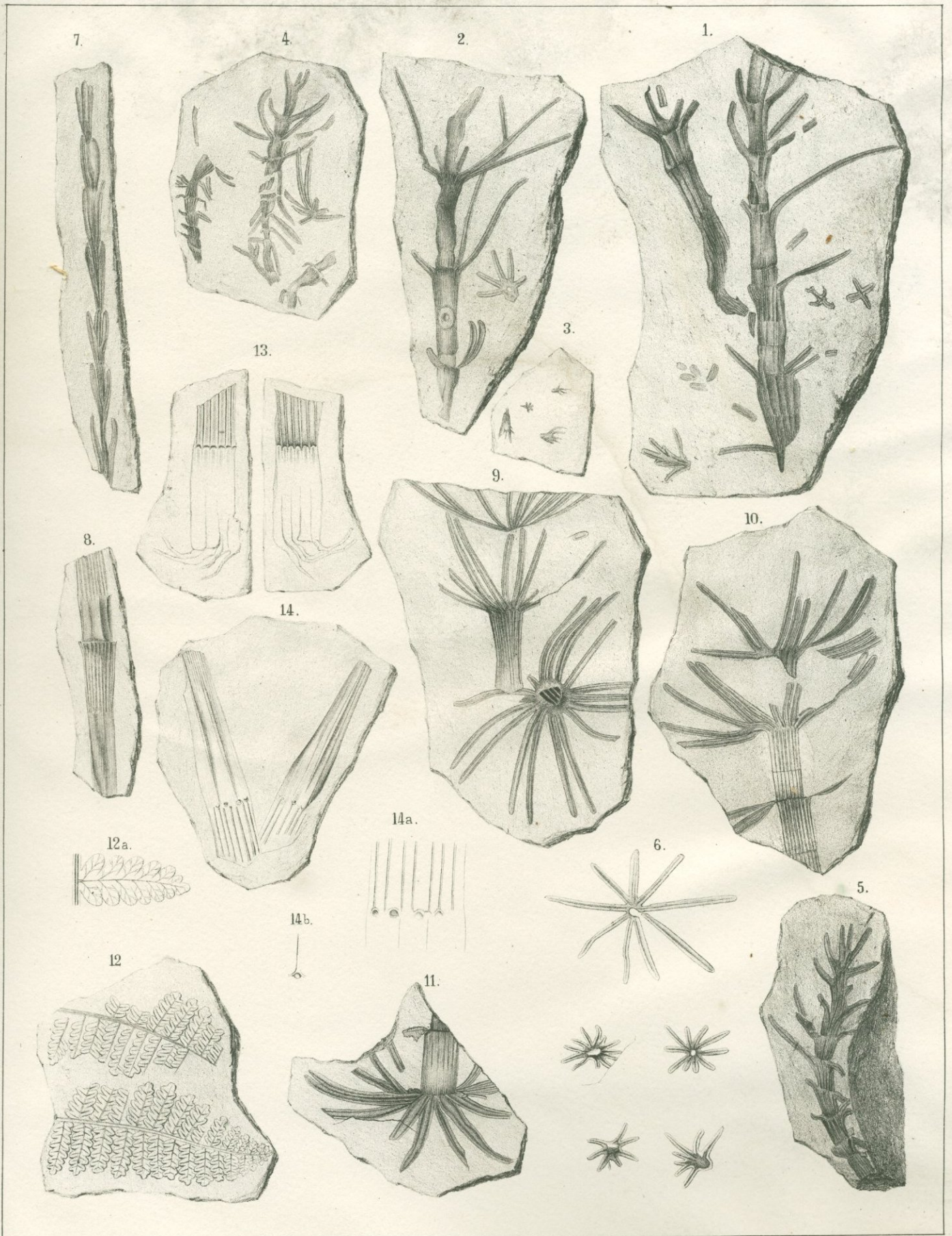
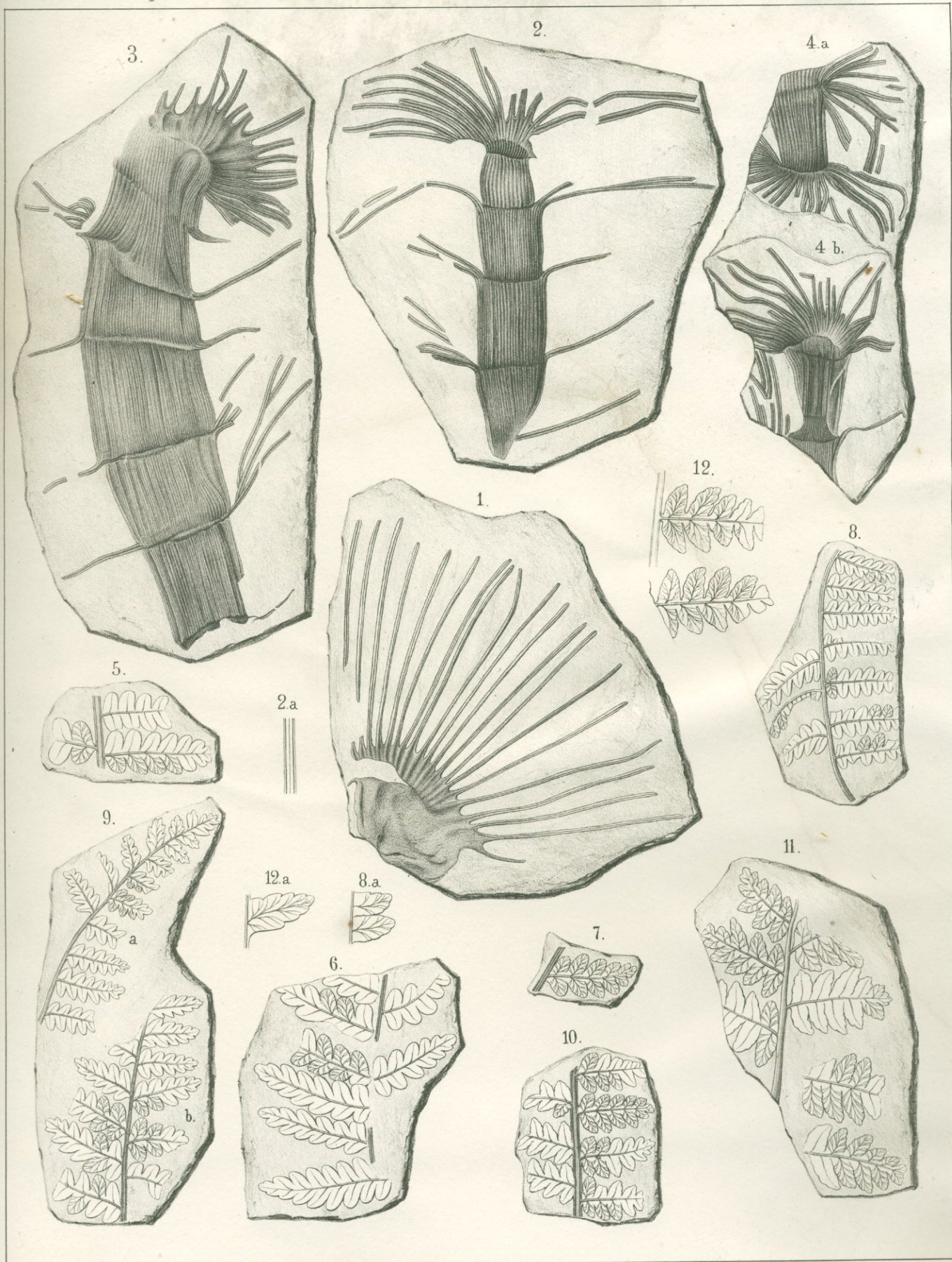


Fig. 1-7. *Phyllothea paucifolia* 8-11. *Ph. stellifera* 12. *Pecopteris recta* 13. 14. *Phyllothea*.



Nach d. Nat. gez. v. Schmalhausen.

Lithographie v. Ivanov, St. Petersburg.

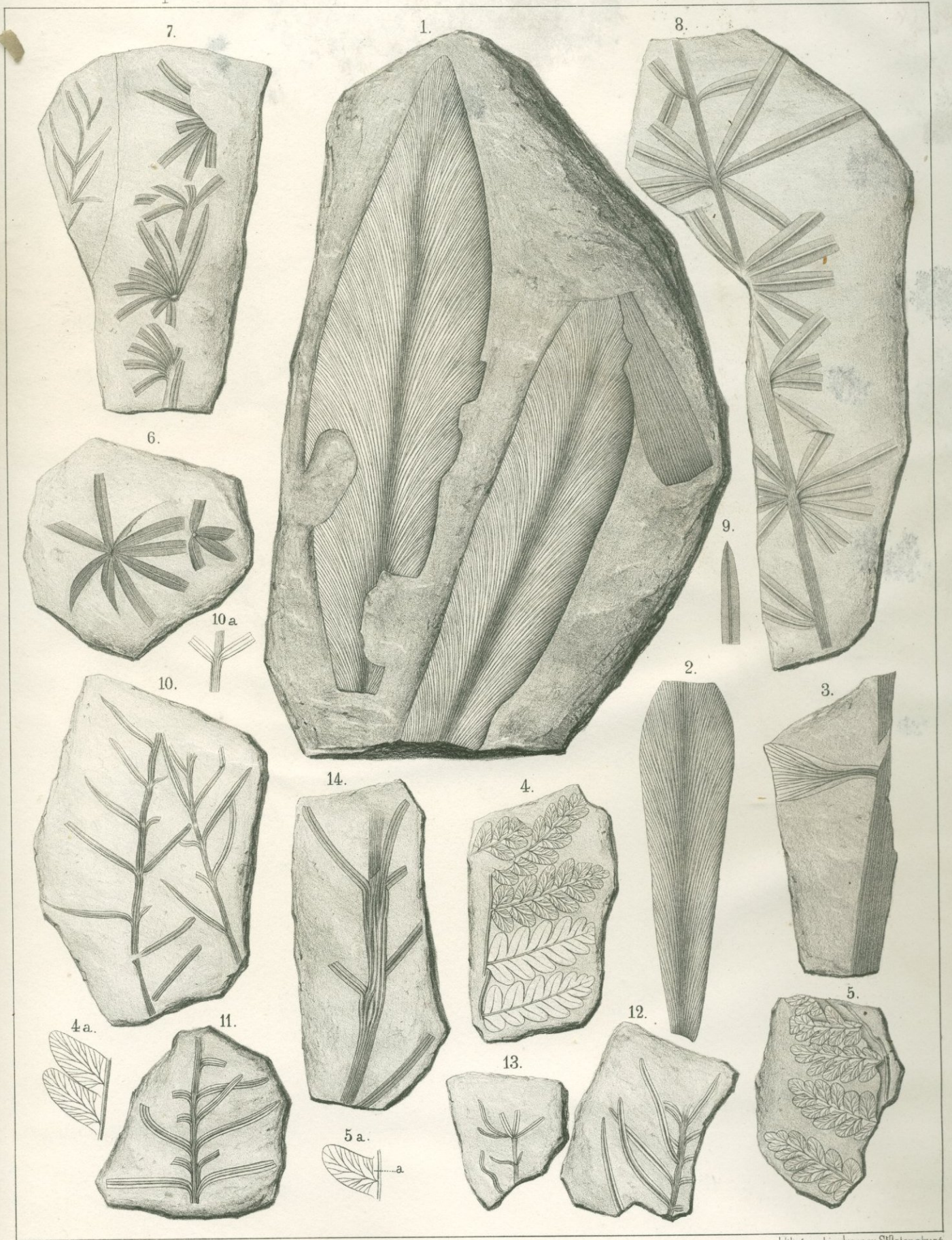
Fig. 1-4. *Phyllothecca equisetitoides*. 5-10. *Asplenium petruschinense*. 11. 2. *Aspl. petruschinense* var. *dentatum*.



Nach. d. Nat. ger. Schmalhausen.

Lithographie vivanson, SPetersburg.

Fig. 1-5, 7 *Asplenium tunguscanum*. 6 *Aspl. Czekanowskii*. 6a *Aspl. petruschinense*.
8-13 *Acrostichum sibiricum*.



Nach. d. Nat. gez. v. Schmalhausen.

Lithographie v.anson, S. Petersburg.

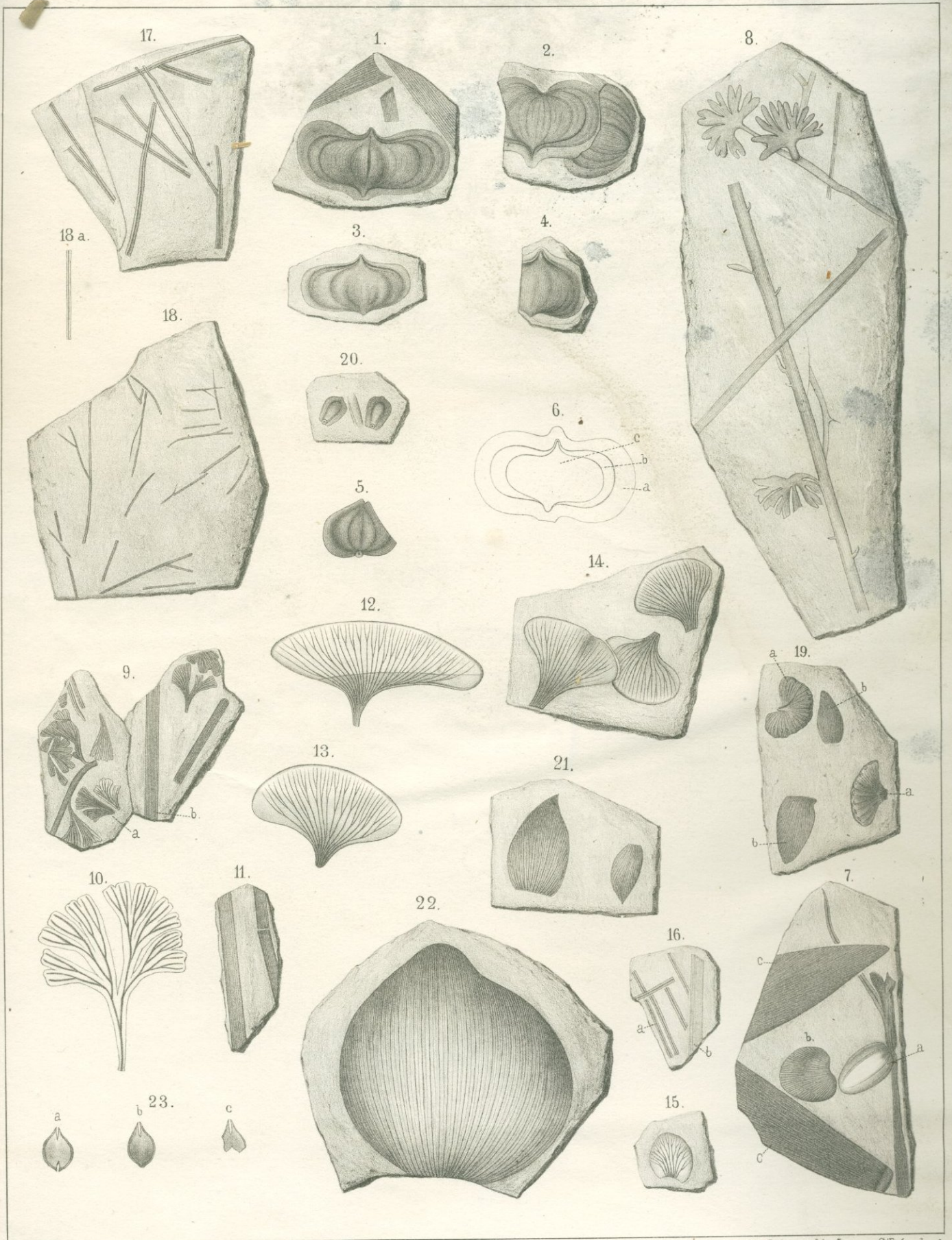
Fig. 1-3. *Zamiopteris glossopteroides*. 4. 5. *Asplenium whitbiense tenue*. 6-8 *Cycloptys Nordenskiöldi*. 9-14. *Cycloptys Heeri*.



Nach. d. Nat. get. v. Schmalhausen.

Lithographie v.anson, S^t Petersburg.

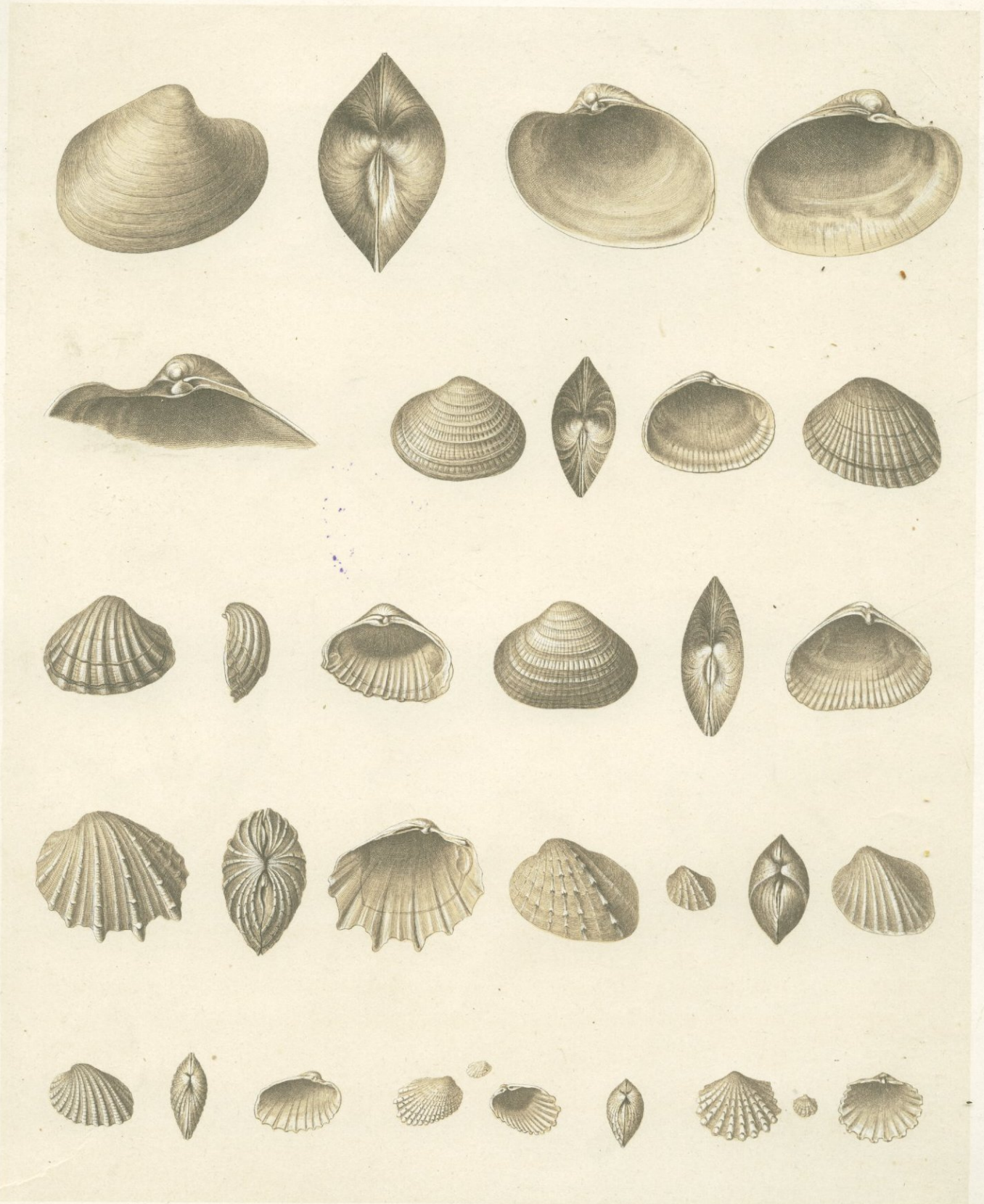
Fig. 1-11 Rhipozamites Goeperti. 12. Czekanowskia? 13b. 18. 19. Ginkgo. 14. 17. Araucarites.
14. b. 15. 16. 13 c. Squamae.



Nach d. Nat. ger. v. Schmalhausen.

Lithographie v. Ivanson, S. Petersburg.

Fig. 1-6 *Cardiocarpus depressus*. 7a *Cycadinocarpus*. 8. 9. 10. *Ginkgo Czekanowskii*. 9b. 11. *Phoenicopsis angustifolia?* 12-15. *Ginkgo integerrima*. 16-18 *Czekanowskia*. 7b. 19. 21. 22. *Squamae gymnospermarum* 20. *Samaropsis*. 23. *Samaropsis rostrata*.





BRITISH MUSEUM
LONDON

Liman des Dnjepr.

Spongilla lacustris L.

Binnenseen und Flüsse Livlands.

Spongilla lacustris L.

40) **Trachyspongilla erinacea** (cf. № 12 oben, Literatur).

41) **Ephydatia fluviatilis** L.

Binnenseen des Gouv. Minsk.

Spongilla lacustris L.

In Gewässern bei Warschau.

Spongilla lacustris L.

Ephydatia fluviatilis L.

Binnenseen des Gouv. Charkow.

Spongilla lacustris L. und **Ephydatia fluviatilis** L. (cf. № 9 oben, Literatur).

Aus der gegebenen Uebersicht ergibt sich, dass Russland meistens ganz eigenthümliche Schwamm-Arten besitzt, die leider aber bis jetzt noch zu wenig erforscht sind, als dass sich eine Parallele mit anderen Gebieten durchführen liesse.

Spongiarres

Lybowski

Erklärung der Tafeln.

Tafel I.

- Fig. 1. *Lubomirskia baicalensis* Pallas sp.
Ein baumförmig verzweigter Stock mit aufrecht stehenden Aesten, $\frac{1}{2}$ nat. Grösse.
- Fig. 2. *Lubomirskia bacillifera* var. γ .
Ein knollenförmiger Stock, obere Ansicht, fast nat. Grösse.
- Fig. 3. *Lubomirskia baicalensis* var. γ .
Ein knollenförmiger Stock, Seitenansicht, fast nat. Grösse.
- Fig. 4—6. *Lubomirskia bacillifera* var. β .
4. Ein kugelförmiger Stock, Seitenansicht, nat. Grösse.
5. Kugelförmiger, seitlich zusammengedrückter Stock, $\frac{2}{3}$ nat. Gr.
6. Ein polsterförmiger Stock, obere Ansicht, $\frac{1}{3}$ nat. Gr.
- Fig. 7. *Lubomirskia papyracea* n. sp.
Ein lamellenförmiger Stock, obere Ansicht, 3mal vergröss.
- Fig. 8. *Metschnikowia flava* Grimm.
Ein lamellenartiger Stock, obere Ansicht, 3mal vergröss.
- α) Sternförmig angeordnete Furchen.
- Fig. 9. Ein Längsschnitt von *Metschnikowia tuberculata*, 3mal vergröss.

Tafel II.

- Fig. 1—1b. *Lubomirskia bacillifera* n. sp.
1. Skelettnadeln, 650mal vergröss.

- α) Normale,
 β) Abnorme.

- 1a. Abnorme Skelettnadeln.
1b. Eine Skelettnadel bei 650mal. Vergr. gezeichnet.

- Fig. 2. *Lubomirskia baicalensis* var. δ .

- a) Normale Skelettnadeln $\frac{650}{1}$.
a') Desgleichen, bei 650mal. Vergr. gezeichnet.
b) Abnorme Skelettnadeln $\frac{650}{1}$.
d) Elliptische Körperchen $\frac{650}{1}$.

- Fig. 3—3b. *Reniera* sp. (aus dem Schwarzen Meer.)

3. Aus einem Querschnitte bei 500mal. Vergr.
a) Skelettnadeln,
b) Horngebilde.
3a. Längsschnitt mit etwas verschobenen unregelmässigen Maschen.
a) Skelettnadeln der Längsfaserzüge.
b) Horngebilde.
3b. Längsschnitt, ein regelmässiges, rechtwinkliges Gitterwerk des Gerüsts darstellend.
a) Skelettnadeln der Querfaserzüge.
b) Horngebilde.

- Fig. 4—4a. *Veluspa polymorpha* var. *infundibuliformis*.

4. Bruchstück des Schwammes, 3mal. Vergr. (Lupenzeichnung).

- α) Das Gerüst.
 β) Rinden-Schicht.
4a. Längsschnitt, bei 450mal. Vergröss. gezeichnet (halbschematisch).

- α) Aeussere Schicht (Rinden-Schicht).
- β) Gerüst (Längs- und Quersfaserzüge).

Fig. 5—5b. *Lubomirskia baicalensis*.

5. Längsschnitt bei 450mal. Vergröss. gezeichnet.

- α) Längsfaserzüge.
- β) Parenchym.
- γ) Quersfaserzüge.

5b. Eine Skelettnadel, bei 650mal. Vergr. gez.

α. α) Bezeichnen die Stelle, an welcher das Maass genommen wurde.

β) Querschnitt einer Skelettnadel.

5a. Stück eines Längsschnittes des Schwammes (bei 650facher Vergr.)

- a) Ein Ei (?).
- b) Skelettnadel.
- c) Parenchymnadeln.
- d) Kerne.
- e) Körniges Parenchym.

Tafel III.

Fig. 1—1a. *Veluspa polymorpha* var. *digitata*.

1. Das Gerüst; die Zeichnung ist schematisch nach einem zerzupften Präparate entworfen. (650/1.)

- α) Skelettnadeln,
- β) Horngebilde.

1a. Skelettnadel, bei 650facher Vergröss. gezeichnet.

Fig. 2—2b. *Lubomirskia papyracea* n. sp.

2. Obere Ansicht des Schwammes, 650fache Vergrößerung.

- a) Eine mit Parenchym vollkommen ausgefüllte Masche des Gerüsts.
- b) Eine mit einer kleinen Oeffnung versehene Masche.
- c) Eine fast ganz leere Masche.
- d) Eine Masche mit geplattem Parenchym.

α) Skelettnadeln,

β) Parenchym-Nadeln in situ.

2a. Die in das Horngebilde eingelagerten Skelettnadeln.

2b. Obere Ansicht des Schwammes (Lupenzeichnung) mit 3 Osculis.

Fig. 3—3b. *Pachychalina compressa*.

3. Das Gerüst (bei 650maliger Vergröss. gezeichnet).

3a. Eine Skelettnadel 650/1.

3b. Stück einer verästelten Längsfaser (650/1).

Fig. 4—4b. *Reniera gracilis*.

4. Längsschnitt (schematisch) bei 650maliger Vergr. gez.

a) b) c) Drei verschiedene Längsfaserzüge (Verstärkungszüge Miklucho-Maklay).

d) Dichotomische Verzweigung eines Längsfaserzuges.

e) Zickzackförmiger Längsfaserzug.

f) Diejenige Stelle, an welcher die Skelettnadeln durch Horngebilde zu Maschen verbunden sind.

g) Polygonale Maschen des Gerüsts (Netzwerk).

4a. Querschnitt (schematisch) Vergrößerung wie oben.

α) Durchschnitt der Längsfasern.

β) Stelle, wo die Skelettnadeln mit einander verbunden sind.

4b. Querschnitt (bei 650maliger Vergröss.) halb-schematisch.

Fig. 5—5a. *Metschnikowia flava* Grimm.

5. Das Gerüst (650/1.)

α) Skelettnadeln,

β) Horngebilde.

5a. Eine Skelettnadel (bei 650maliger Vergrößerung gezeichnet).

Fig. 6—6a. *Metschnikowia tuberculata* Grimm.

6. Das Gerüst.

6a. Eine Skelettnadel (Vergr. wie oben).

Tafel IV.

Alle Figuren dieser Tafel sind mit Hilfe eines Hartnack'schen Zeichenprisma's, bei dem Objectiv Hartnack № 4, gezeichnet worden, und zwar so, dass das Papier unmittelbar auf dem Tisch lag. Es ist hiernach möglich, aus den Abbildungen sowohl die Verschiedenheit der Form, als auch die Verschiedenheit der Grösse der einzelnen Nadeln zu ersehen.

Fig. 1. Skeletnadeln von *Lubomirskia baicalensis* und ihren Varietäten.

- a) Normale Skeletnadel von *L. baicalensis*.
- a'), a'') Abnorme Skeletnadeln derselben Art.
- α) Normale Skeletnadeln der Var. α.
- β), β') Desgleichen der Var. β.
- γ) Desgleichen der Var. γ.
- δ, δ') Desgleichen der Var. δ.

Fig. 2. Skeletnadeln von *Lubomirskia bacillifera* und ihren Varietäten.

- a) Normale Skeletnadeln von *L. bacillifera*.
- α—α''') Verschiedene normale Skeletnadeln der Var. α.
- β) Eine Gruppe normaler Skeletnadeln der Var. β.
- β', β'') Abnorme Skeletnadeln derselben Varietät.
- γ) Normale Skeletnadel der Var. γ.

Fig. 3. A—G. Verschiedene Uebergangsformen der Spicula von *Lubomirskia intermedia*.

A. Skelet- und Parenchym-Nadeln von *Lubomirskia intermedia* (aus der Mündung des Pankowa-Flusses).

- a—c) Normale Skeletnadeln.
- e—m) Abnorme Skeletnadeln.
- d) Ein rundes mit Stacheln bedecktes Körperchen.
- i) Eine missgestaltete Nadel, welche einen fremden Körper einschliesst.
- n) Ein mit Stacheln bedecktes und einen fremden Körper einschliessendes Kügelchen.
- n') Ein fremder Körper.
- z) Vier verschiedengrosse Parenchym-Nadeln.

B—G. Skelet- und Parenchym-Nadeln von *Lubomirskia intermedia* var. α.

B. Skeletnadeln von Exemplaren aus der Mündung des Murin-Flusses.

- a) Missgestaltete Nadeln.
- b—f) Normale Spicula.

C. Skeletnadeln von Exemplaren aus der Mündung des Murin-Flusses.

- a) Abnorme Spicula.
- b) Normale Spicula.

D. Skeletnadeln von Exemplaren aus der Mündung des Pankowa-Flusses.

a) Normale Skeletnadeln.

b—f) Abnorme Skeletnadeln.

z) Parenchym-Nadeln.

E. Skeletnadeln von Exemplaren aus der Mündung des Pankowa-Flusses.

a) Normale Skeletnadeln.

b—f) Abnorme Skeletnadeln.

z) Parenchym-Nadeln.

F. Skeletnadeln von Exemplaren aus der Mündung des Murin-Flusses.

a—b) Abnorme Skeletnadeln.

c—e) Normale Skeletnadeln.

G. Skeletnadeln von Exemplaren aus der Mündung des Myssowa-Flusses.

a) Normale Skeletnadeln.

b—s) Abnorme Skeletnadeln.

Fig. 4. *Lubomirskia papyracea*.

Normale und abnorme Skeletnadeln.

Fig. 5. *Veluspa polymorpha* var. *infundibuliformis*.

α. α') Skeletnadeln.

β) Parenchym-Nadeln.

γ) Kleine Nadeln aus der oberflächlichen Schicht (Rinden-Schicht).

Fig. 6. *Veluspa polymorpha* var. *tubulosa*.

α) Drei Skeletnadeln.

β) Zwei mit ihren Enden in das Horngebilde eingebettete Nadeln.

γ) Zwei normale stumpfspitzige Nadeln.

δ) Eine abnorme, an beiden Enden abgestumpfte Nadel.

Fig. 7. *Clathria coralloïdes*.

α. α') Skeletnadeln (grosse).

β—β'') Skeletnadeln (kleine).

γ) Parenchym-Nadeln.

Fig. 8. *Pachychalina compressa*.

a—b) Skeletnadeln,

c) Parenchym-Nadeln.

Fig. 9. *Clathria coralloïdes* (Gerüst).

α) Horngebilde.

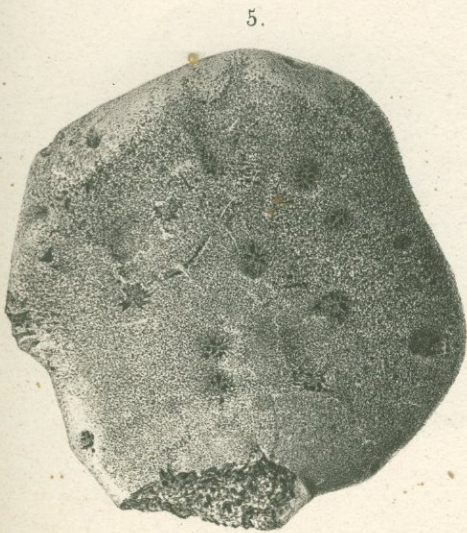
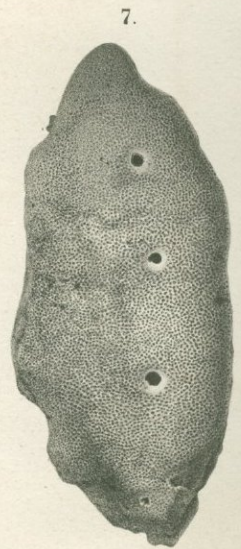
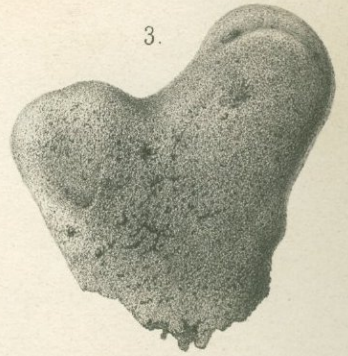
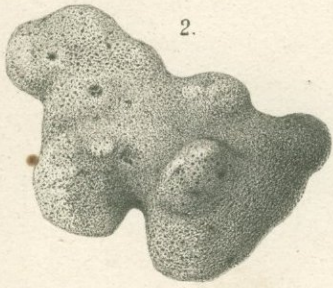
β) Grosse Skeletnadeln.

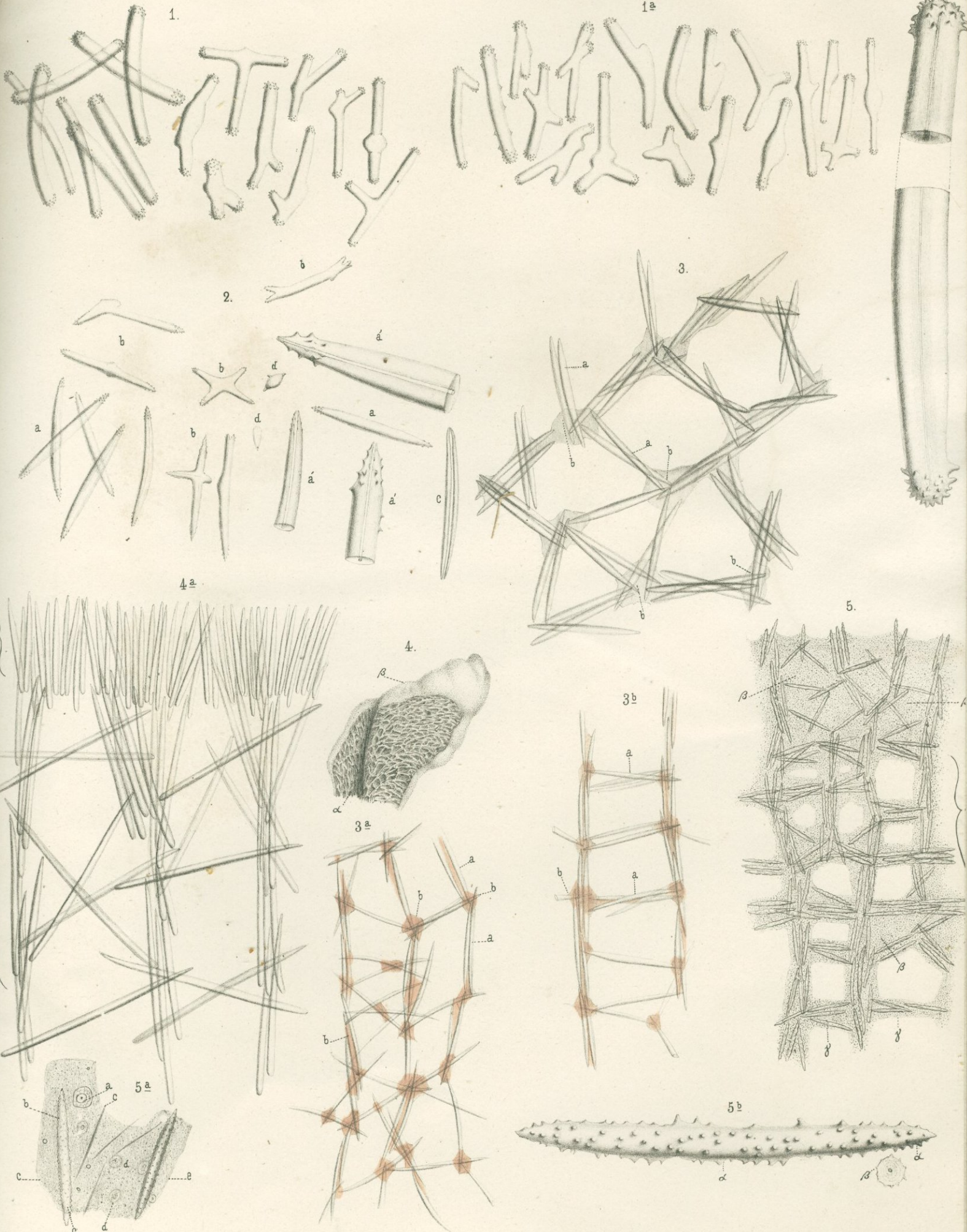
γ) Kleine Skeletnadeln.

Fig. 10. *Veluspa polymorpha* var. *digitata*.

a—c) Skeletnadeln.

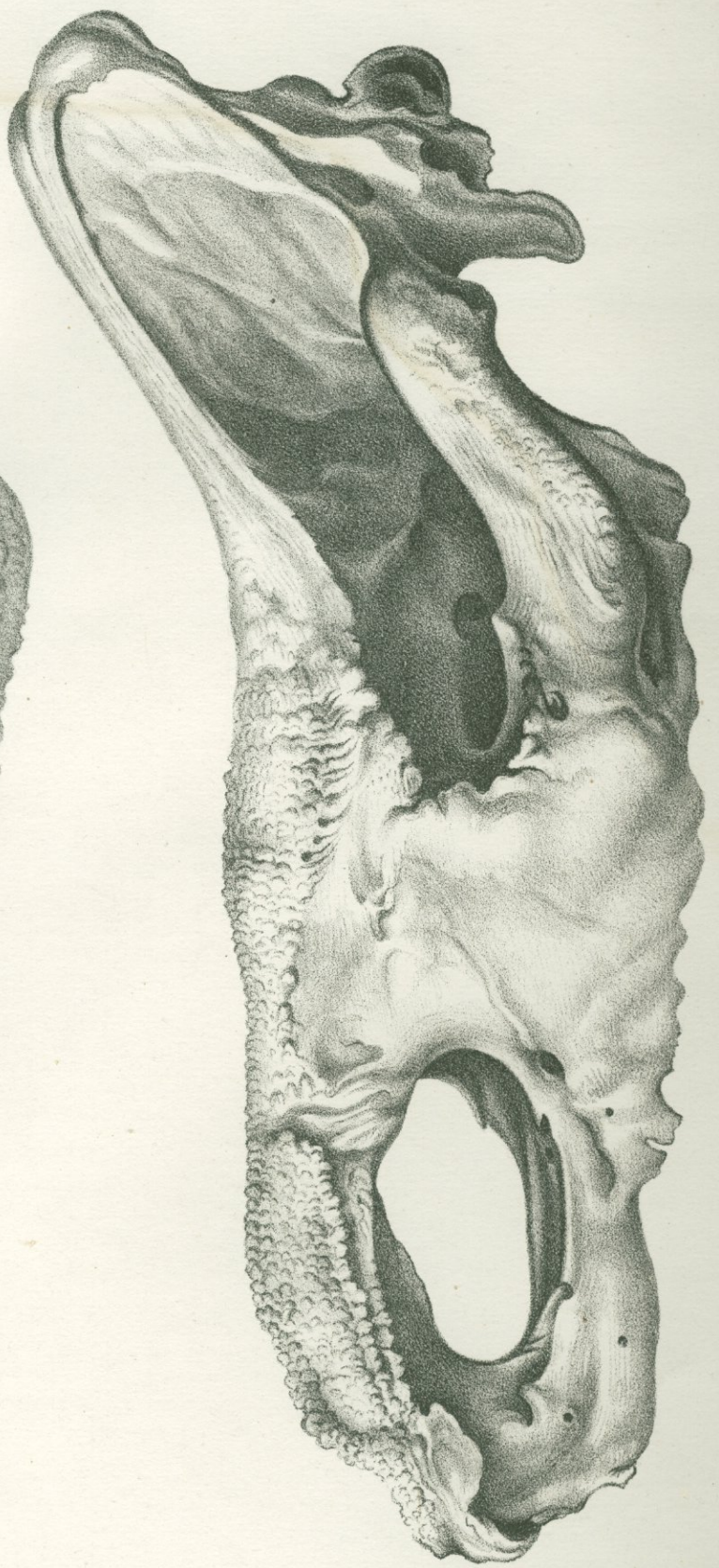
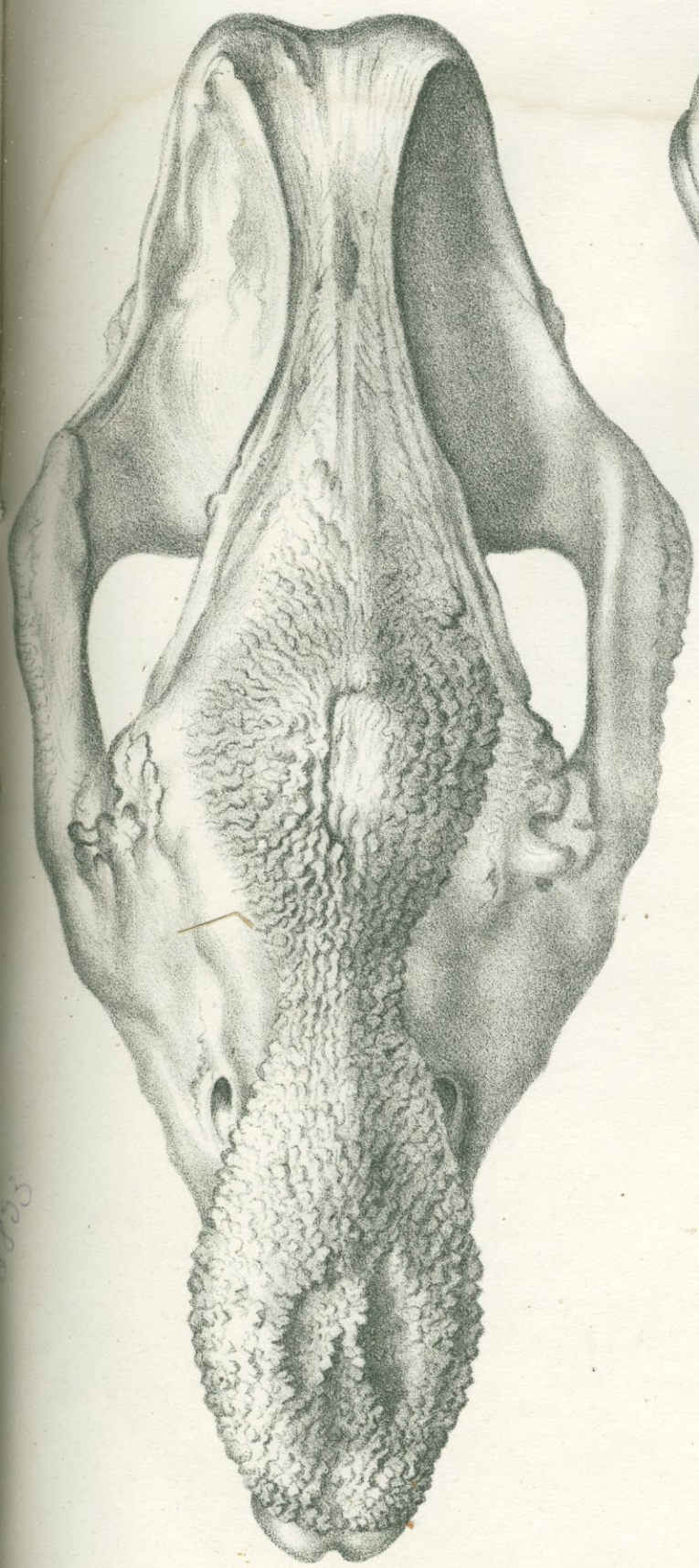
- Fig. 11. *Reniera* sp. (aus d. schwarzen Meer). auf dem Gute Ludwinow, Gouv. Minsk, Kreis Ihumen).
 α — α'') Normale Skeletnadeln.
 β — β'') Abnorme Skeletnadeln.
 γ — γ''') Parenchym-Nadeln.
 Fig. 12. *Metschnikowia flava*.
 α — α'') Skeletnadeln.
 β — β') Parenchym-Nadeln.
 Fig. 13. *Trachyspongilla crinaceus* (aus dem Orro-Flusse in Livland), zum Vergl. mit Fig. 3. G.
 a— a') Normale Skeletnadeln.
 b— b''') Abnorme Skeletnadeln.
 c) Kugelförmiges Körperchen, einen fremden Körper einschliessend.
 d) Eine Gruppe von Skeletnadeln.
 α) Kugelförmige Körperchen in situ.
 β) Horngebilde.
 Fig. 14. *Spongilla lacustris* (aus einem Teiche auf dem Gute Ludwinow, Gouv. Minsk, Kreis Ihumen).
 Zwei normale Skeletnadeln (cf. Fig. 3).
 Fig. 15. *Metschnikowia tuberculata*.
 α) Skeletnadeln,
 β) Parenchym-Nadeln.
 Fig. 16. *Reniera gracilis*.
 α) Normale Skeletnadeln.
 β) Abnorme Skeletnadeln.
 Fig. 17. *Veluspa polymorpha*, var. *flabelliformis*.
 a—c) Normale Skeletnadeln.
 d) Abnorme Skeletnadeln.
 Fig. 18. *Spongilla lacustris* (aus dem Pacha-bicha-See in Sibirien) cf. Fig. 3.
 a) Normale Skeletnadeln.
 b) Abnorme Skeletnadeln.
 c) Parenchym-Nadeln.





1.

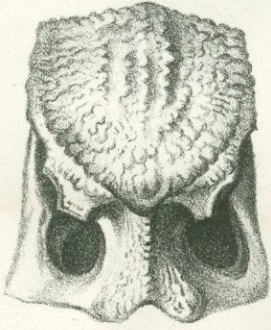
2.



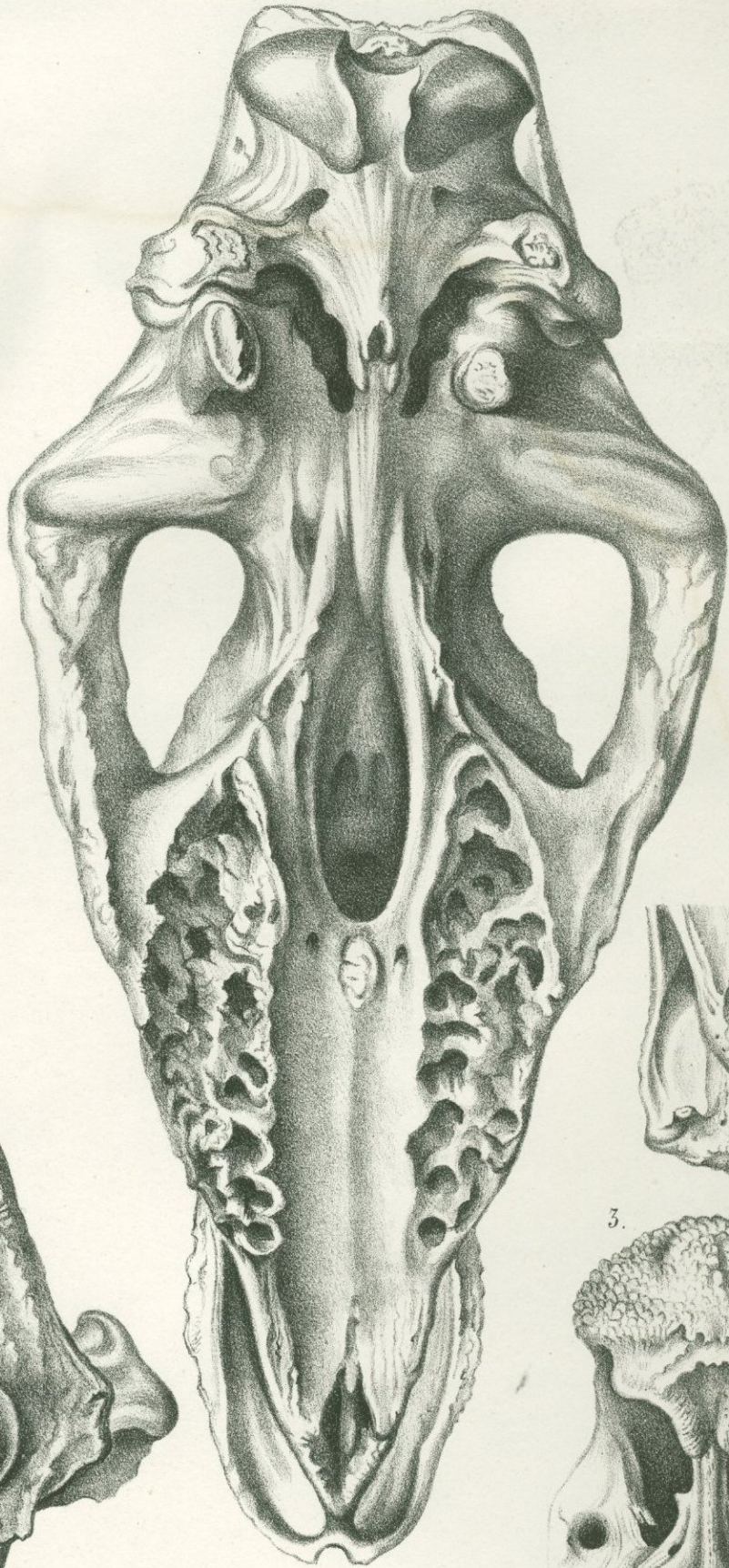
Rhinoceros Merckii Jacq.

manikoe in lap. del.

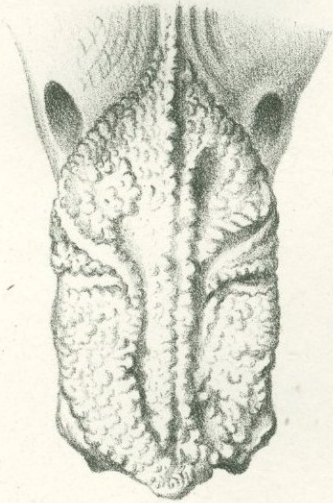
6.



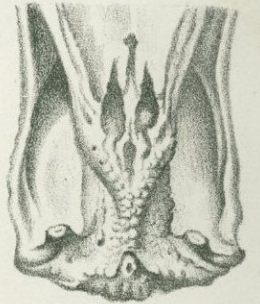
1.



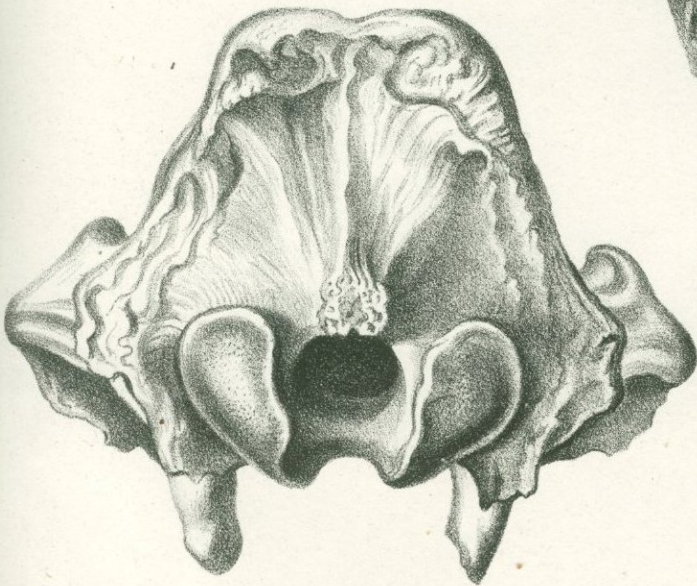
5.



4.



2.



3.

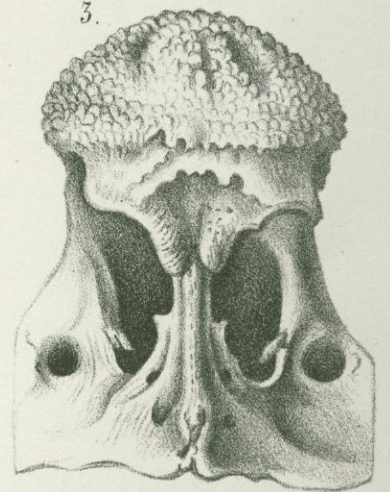


Fig 1-3 Rhinoceros Merckii, 4-6 Rh. tichorhini.

6893



6893

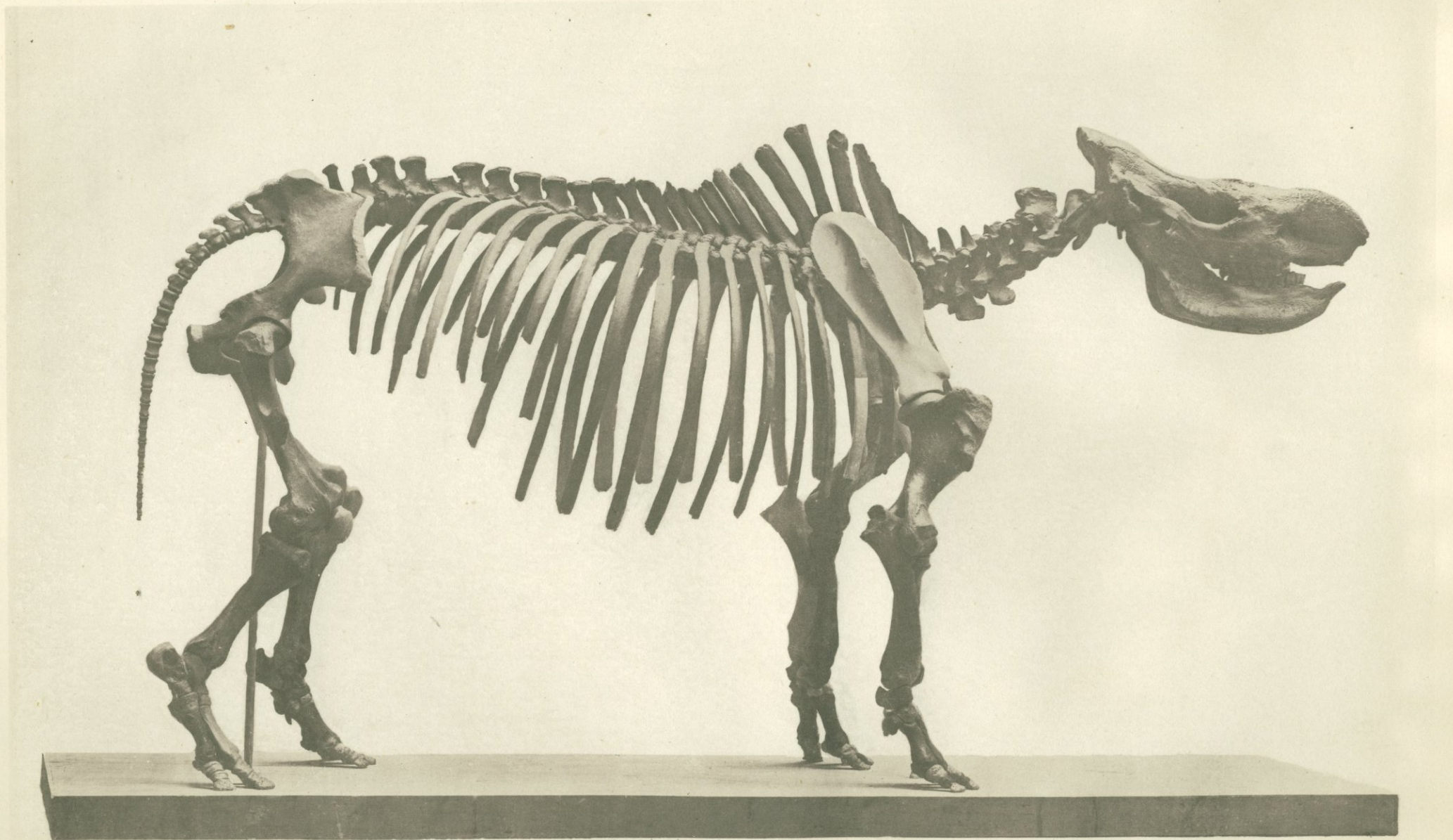
Rhinoceros Merckii Jaeg.



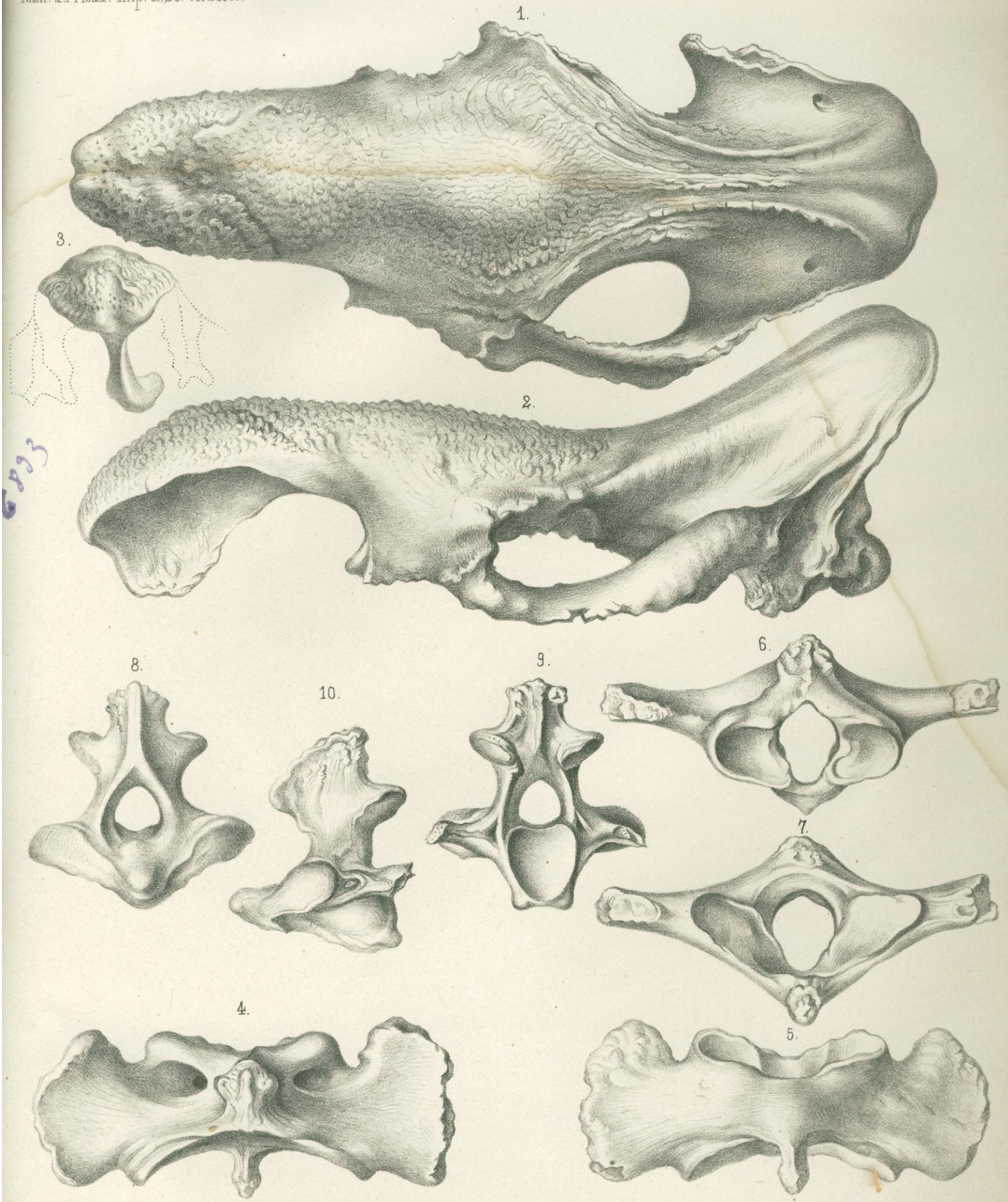
Ovsianikov del.

Lith. Anst. v. Ivanson & Petersburg.

Figur 1-7 Rhinoceros Merckii? Jaeg. Figur 8, 9 Rhinoceros tichorhinus.



Rhinoceros tichorhinus.

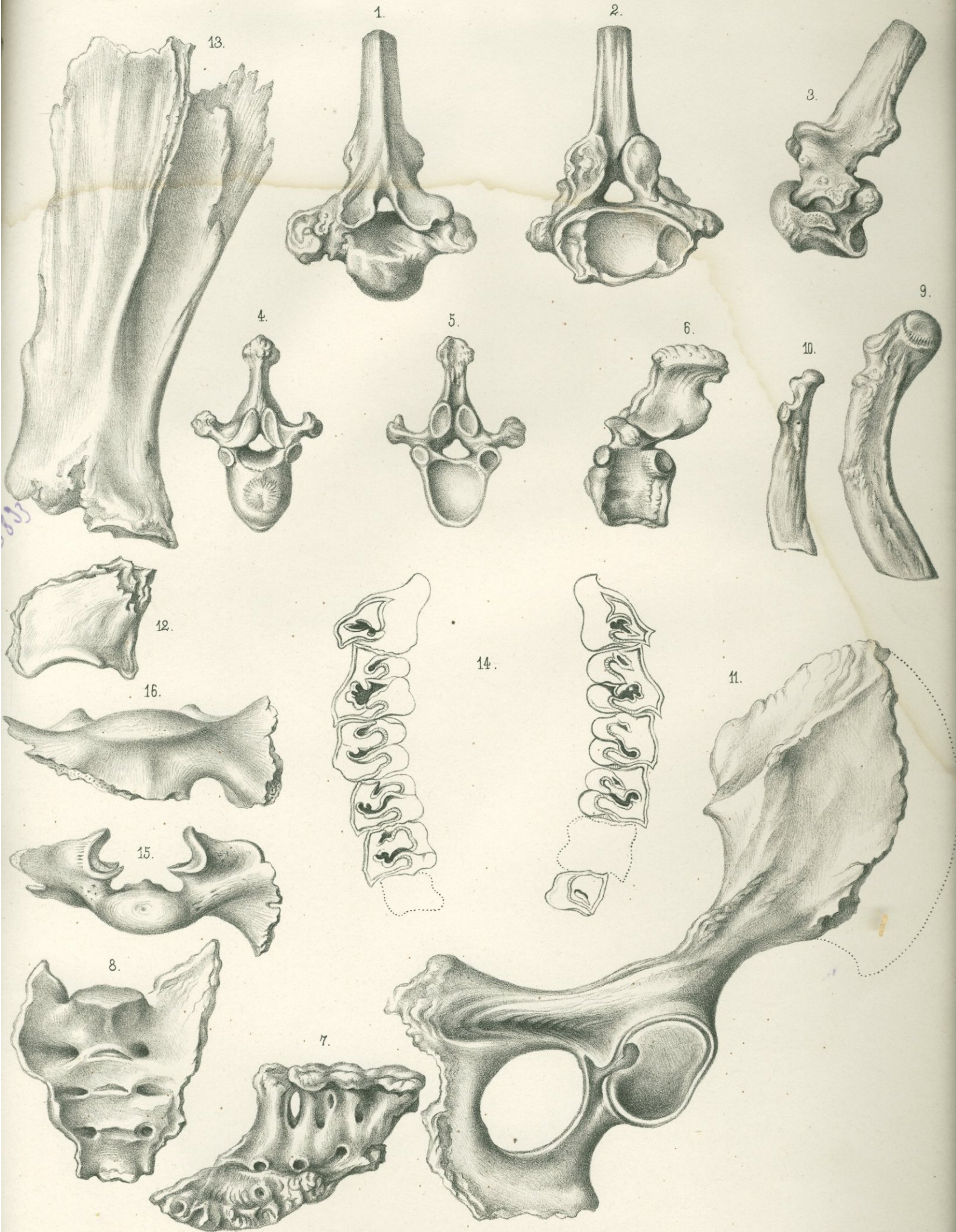


6893

Ovsianikov del.

Lith. Anst. v. Ivanson, St. Petersburg.

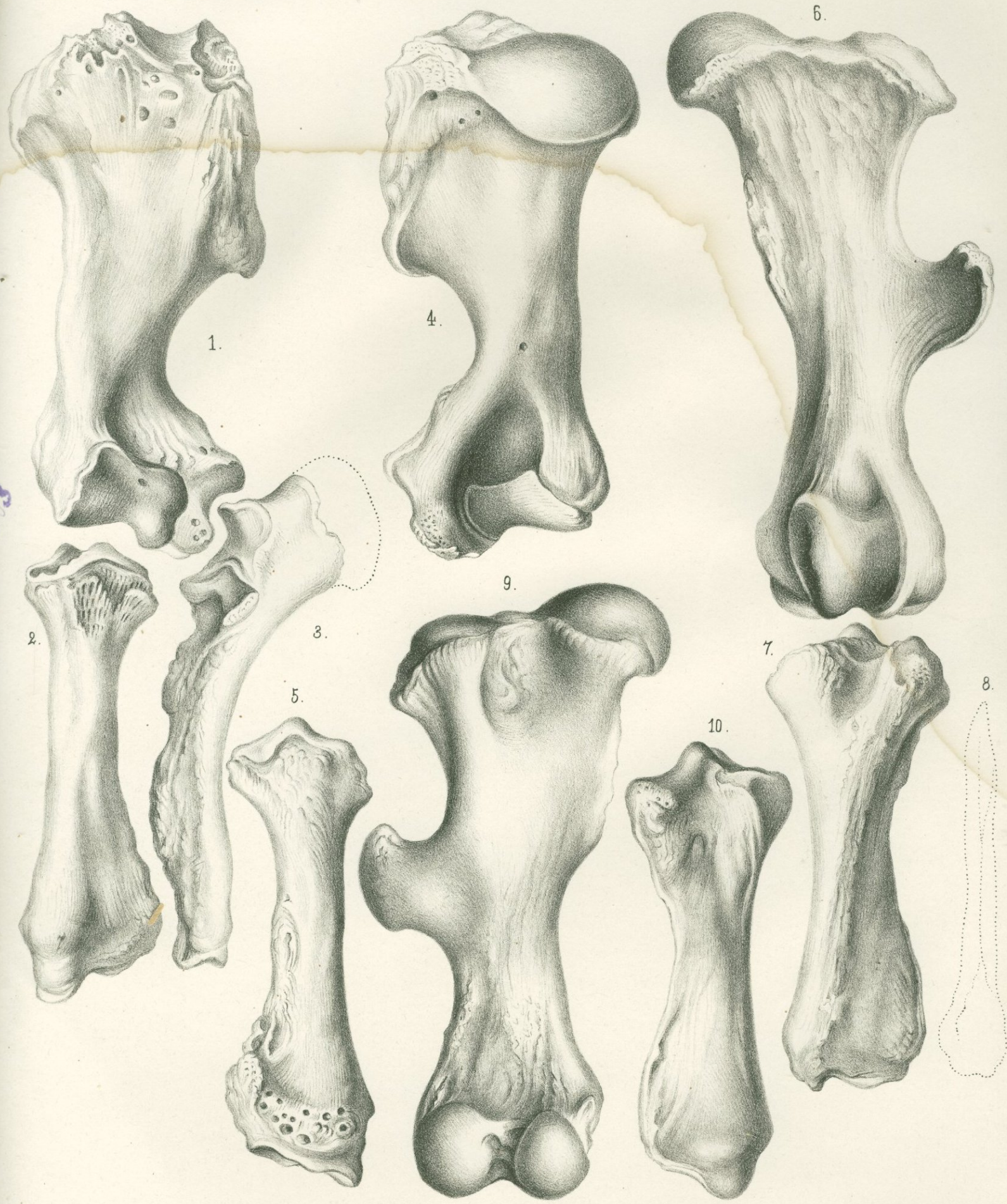
Figur 1-3 Rhinoceros Merckii Figur 4-9 Rhinoceros tichorhinus.



Figur 1-13 *Rhinoceros tichorhinus*. 14-16 *Rhinoceros Merckii*.

Ovsianikov del.

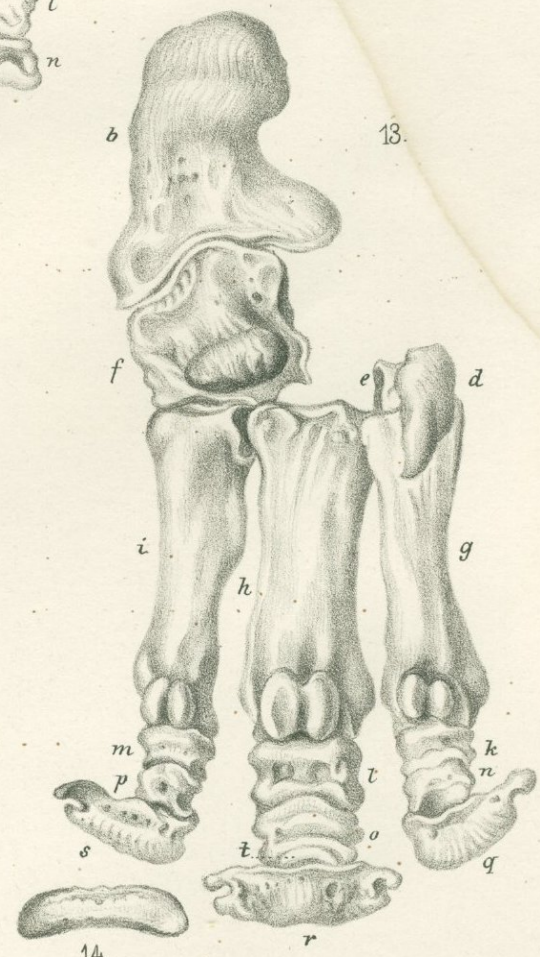
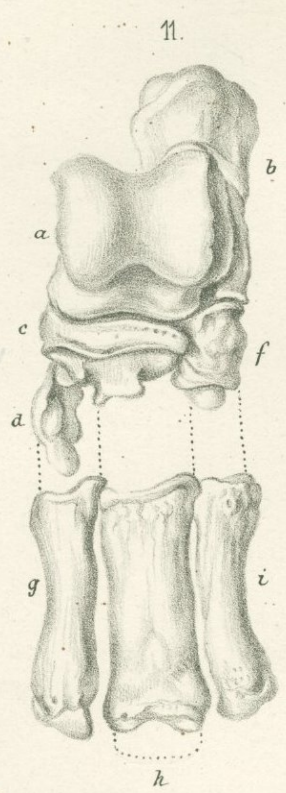
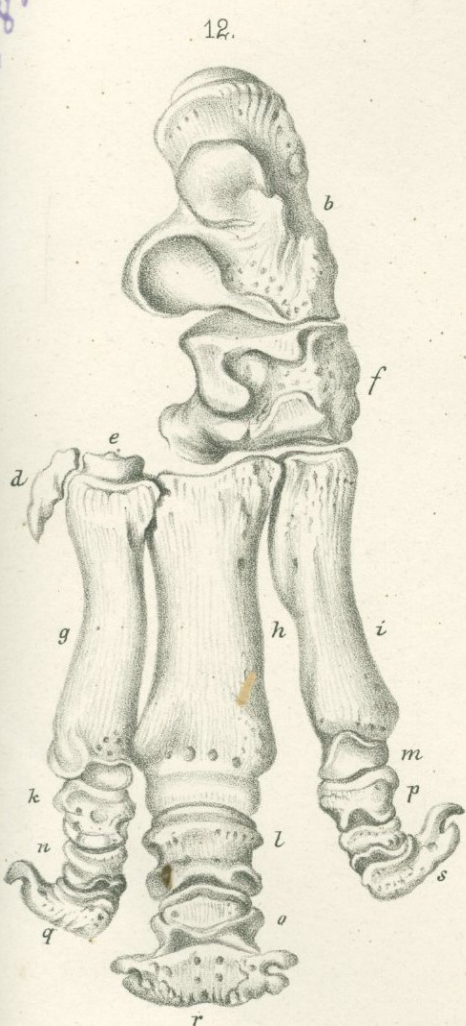
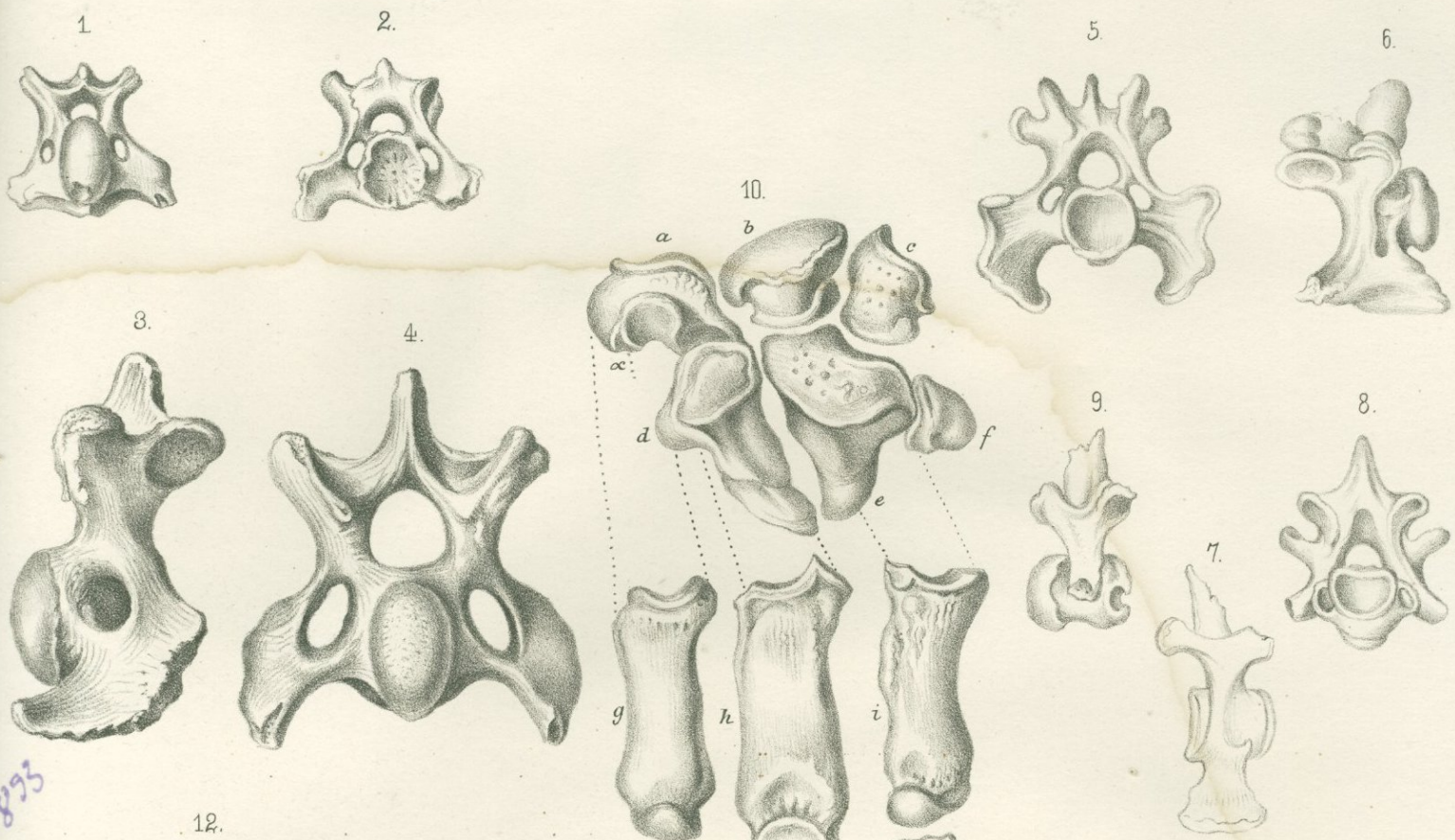
Lith. Anst. v. Ivanson S. Petersburg



Ovsianikov del.

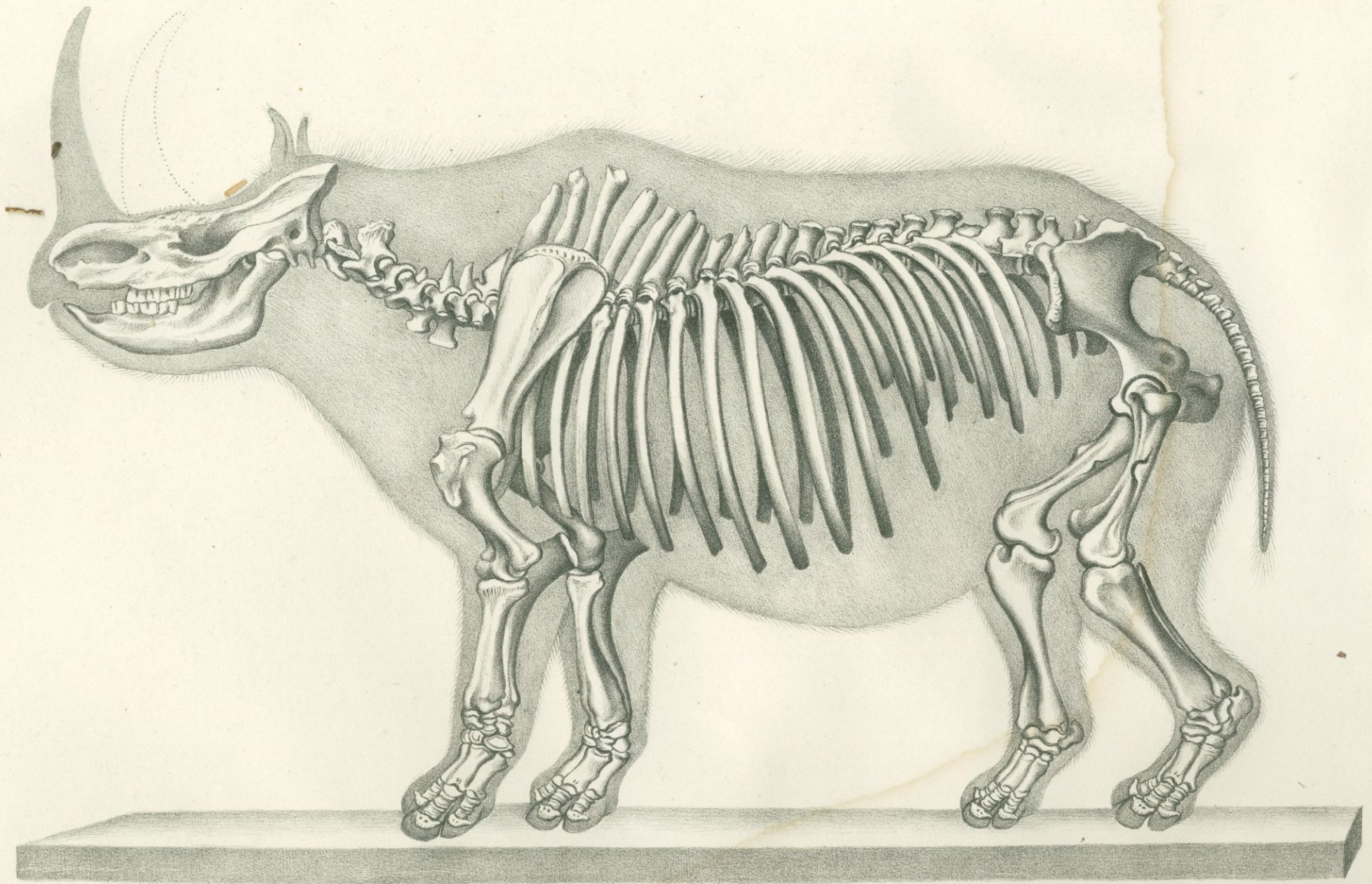
Rhinoceros ticharhinus.

Lith Anst v. Ivanson S^t Petersburg.



Rhinoceros tichorhinus.

6873



Ovsianikov del.

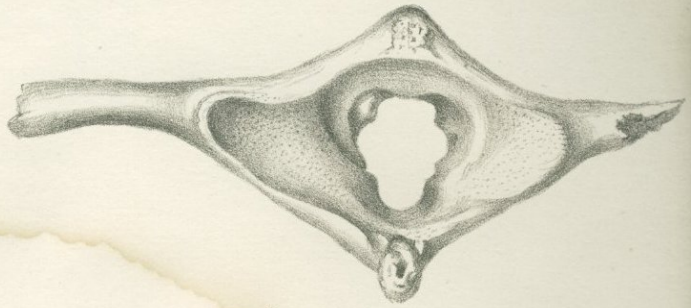
Rhinoceros tichorhinus.

Lith. Anst. v. Ivanson S^tPetersburg.

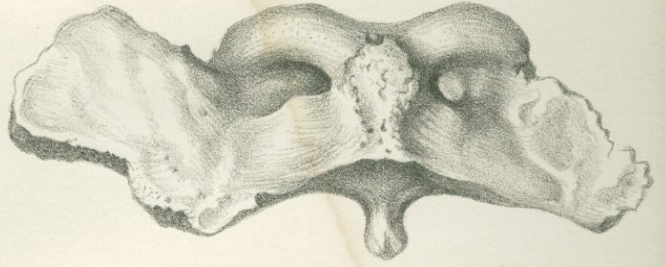
15.

14.

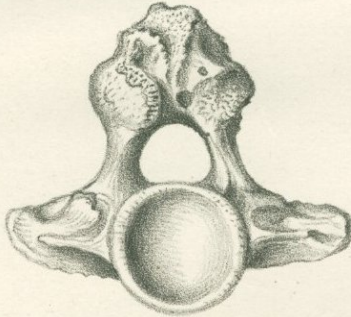
1.



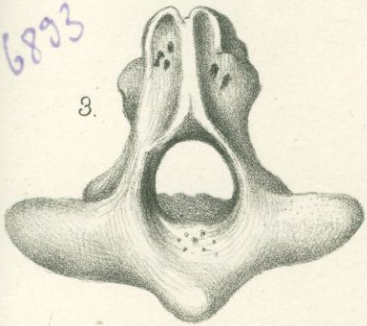
2.



4.



5.

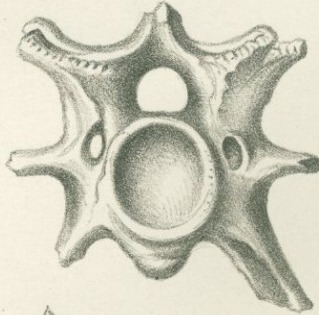


3.

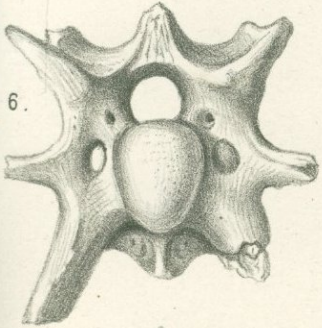
8.



7.

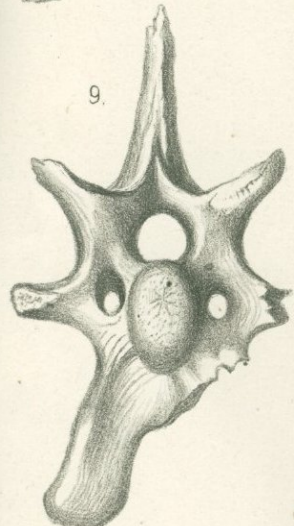


13.

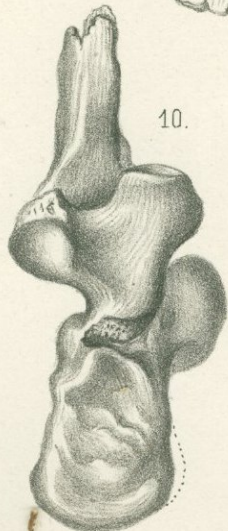


6.

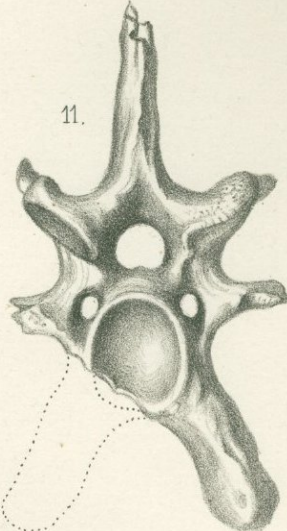
9.



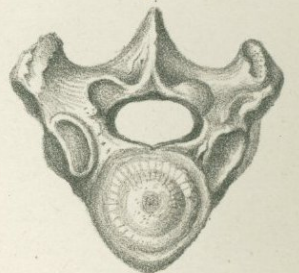
10.



11.



12.

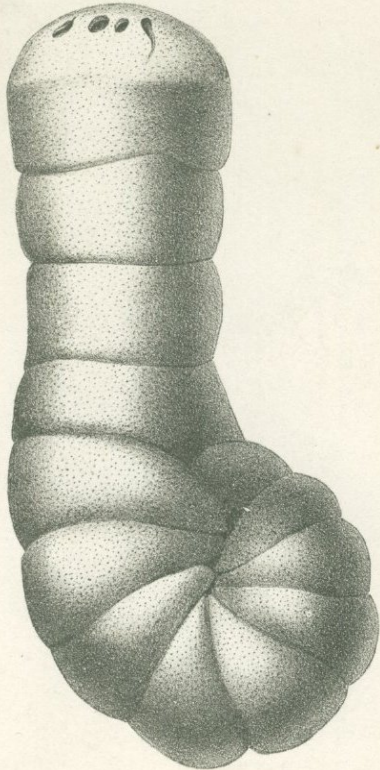


Forameniferes Möller

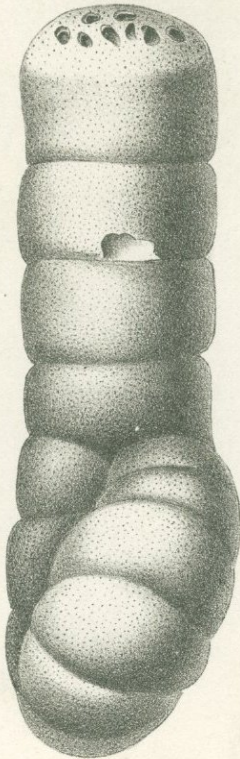
Mem. de l'Acad. Imp. d. sc. VII. Serie.

V. v. Möller: Spiral-gewund. Foraminif. T. I.

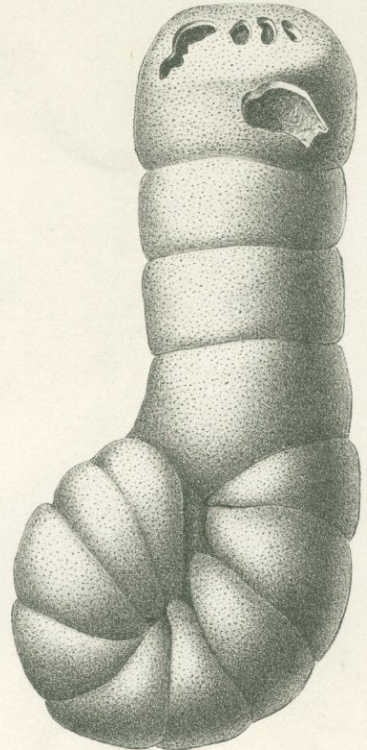
1a
X 30



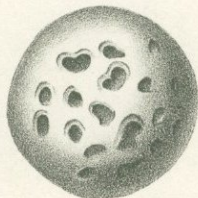
1b
X 30



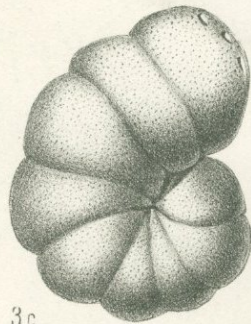
1c
X 30



1d
X 30



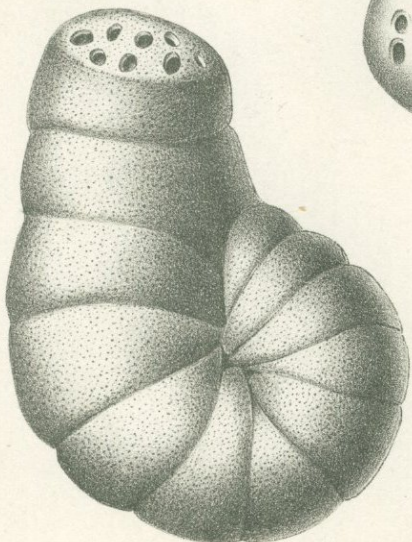
3a
X 44



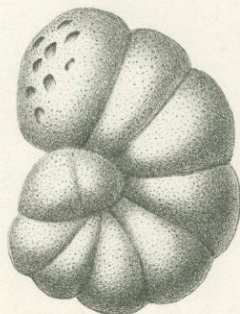
3b
X 44



2
X 30



3c
X 44

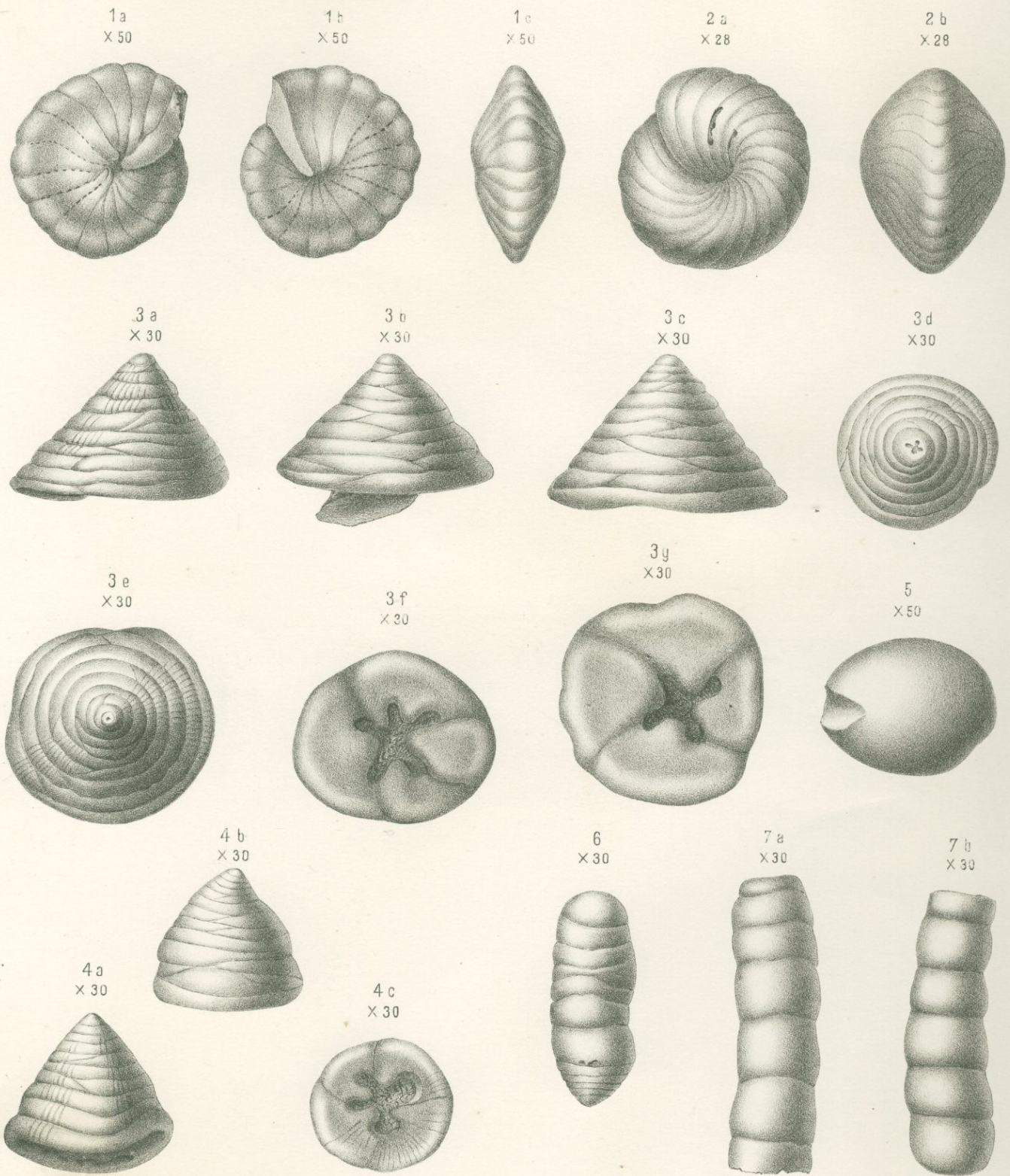


4
X 100



Clara Fuss del. M. Streicher lith.

K. k. Hof-Chromolith. v. Ant. Hartinger & Sohn, Wien.

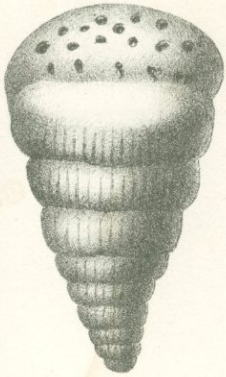




Clara Fuss del. M. Streicher lith.

K. k. Hof-Chromolith. v. Ant. Hartinger & Sohn, Wien.

1a
x22



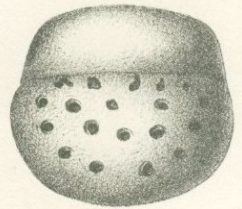
1b
x22



1c
x22



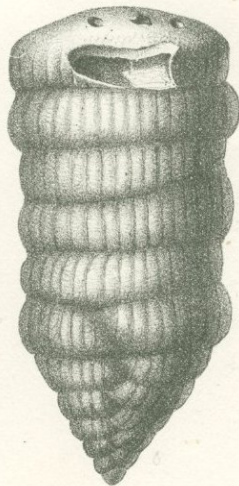
1d
x22



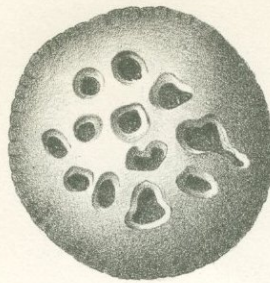
1e
x22



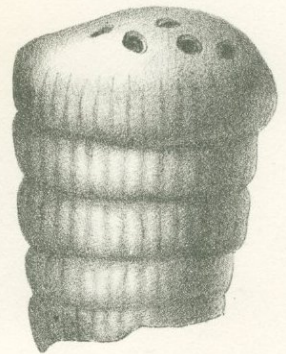
2
x22



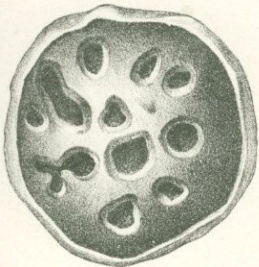
3b
x22



3a
x22



4
x22



5
x22

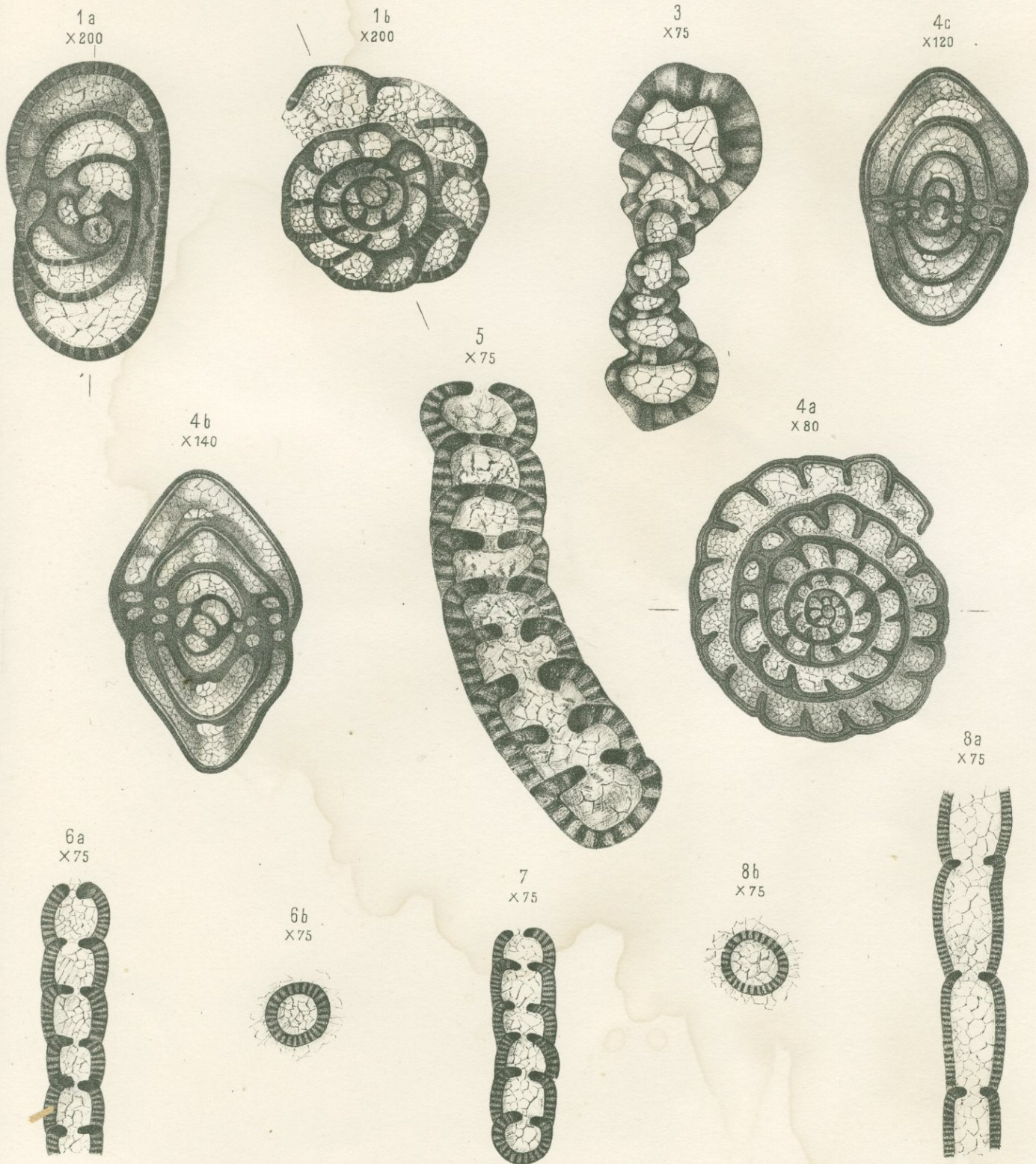


6a
x22

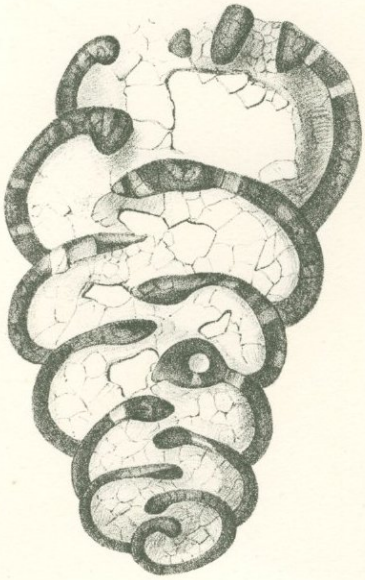


6b
x22

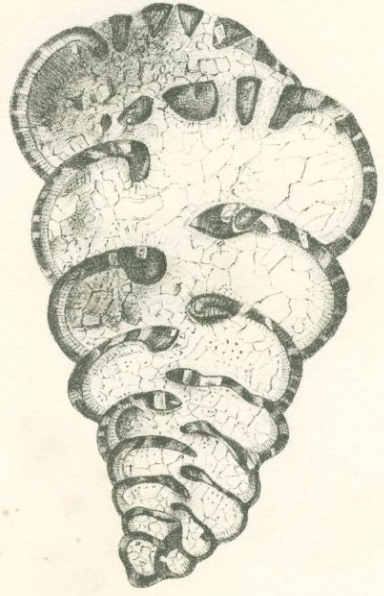




1
x 75



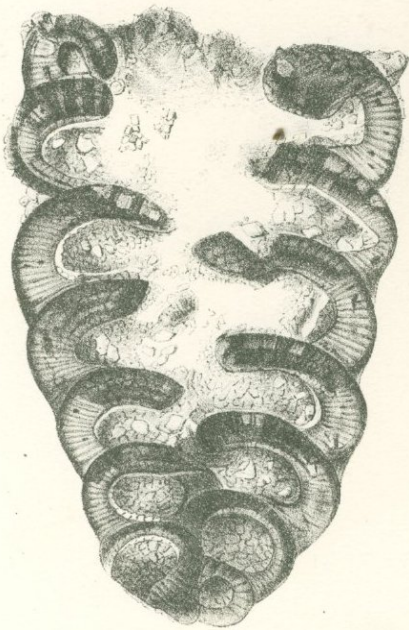
2
x 42



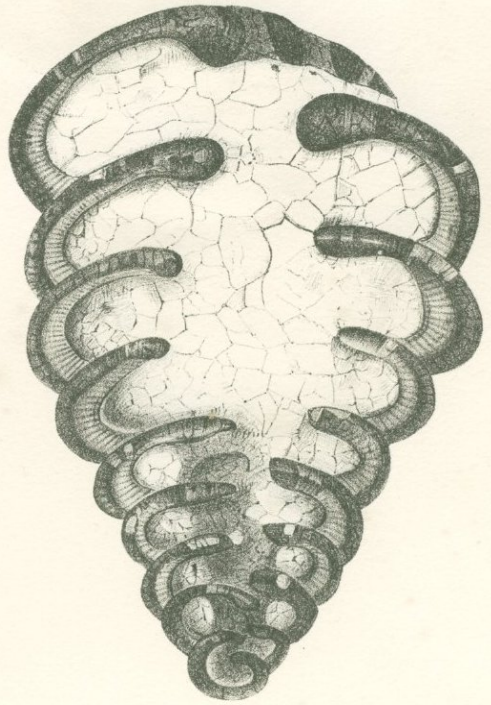
4
x 42



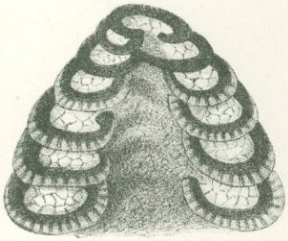
3
x 42



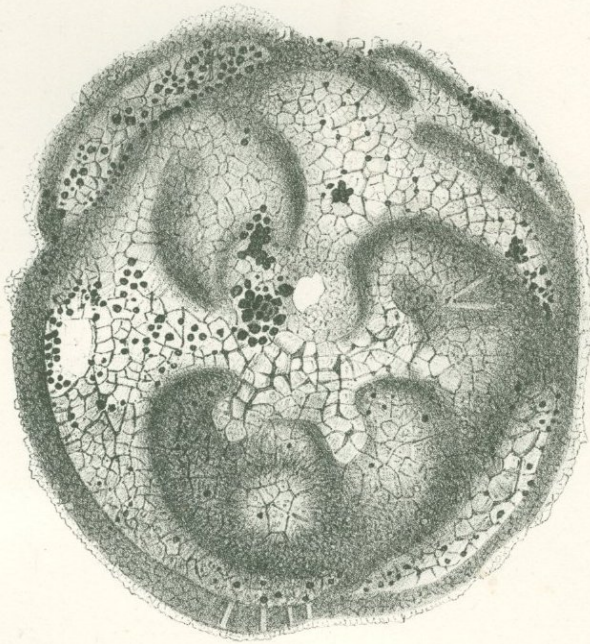
5
x 42



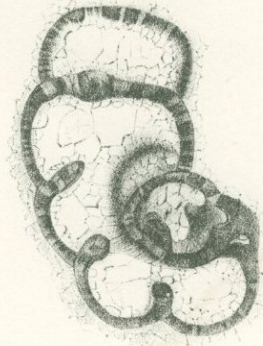
3
175



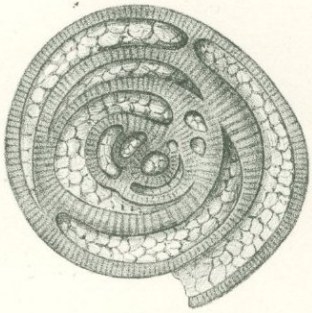
2
x 75



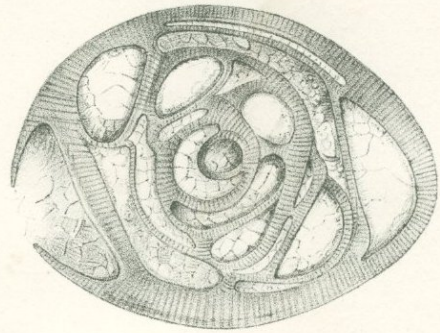
6
x 80



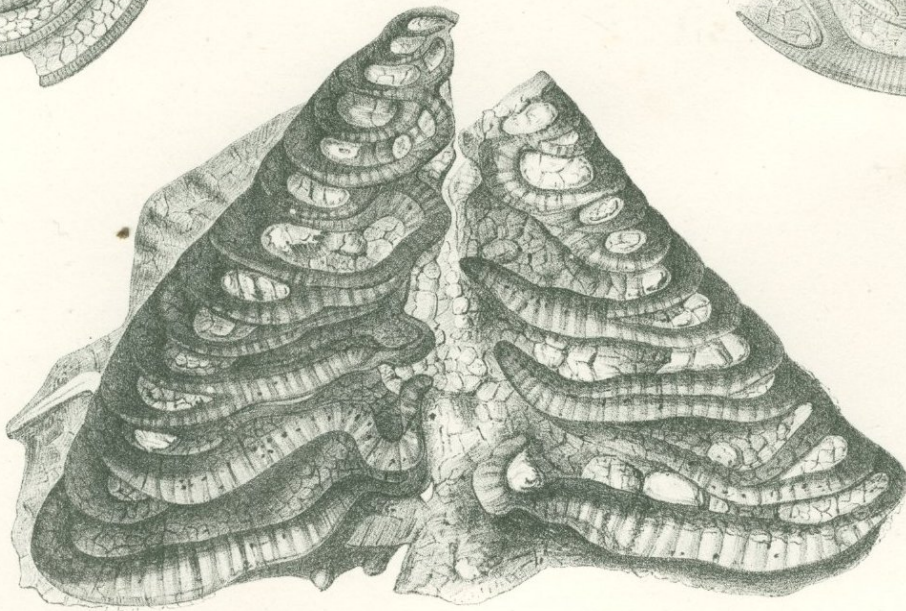
5
x 200

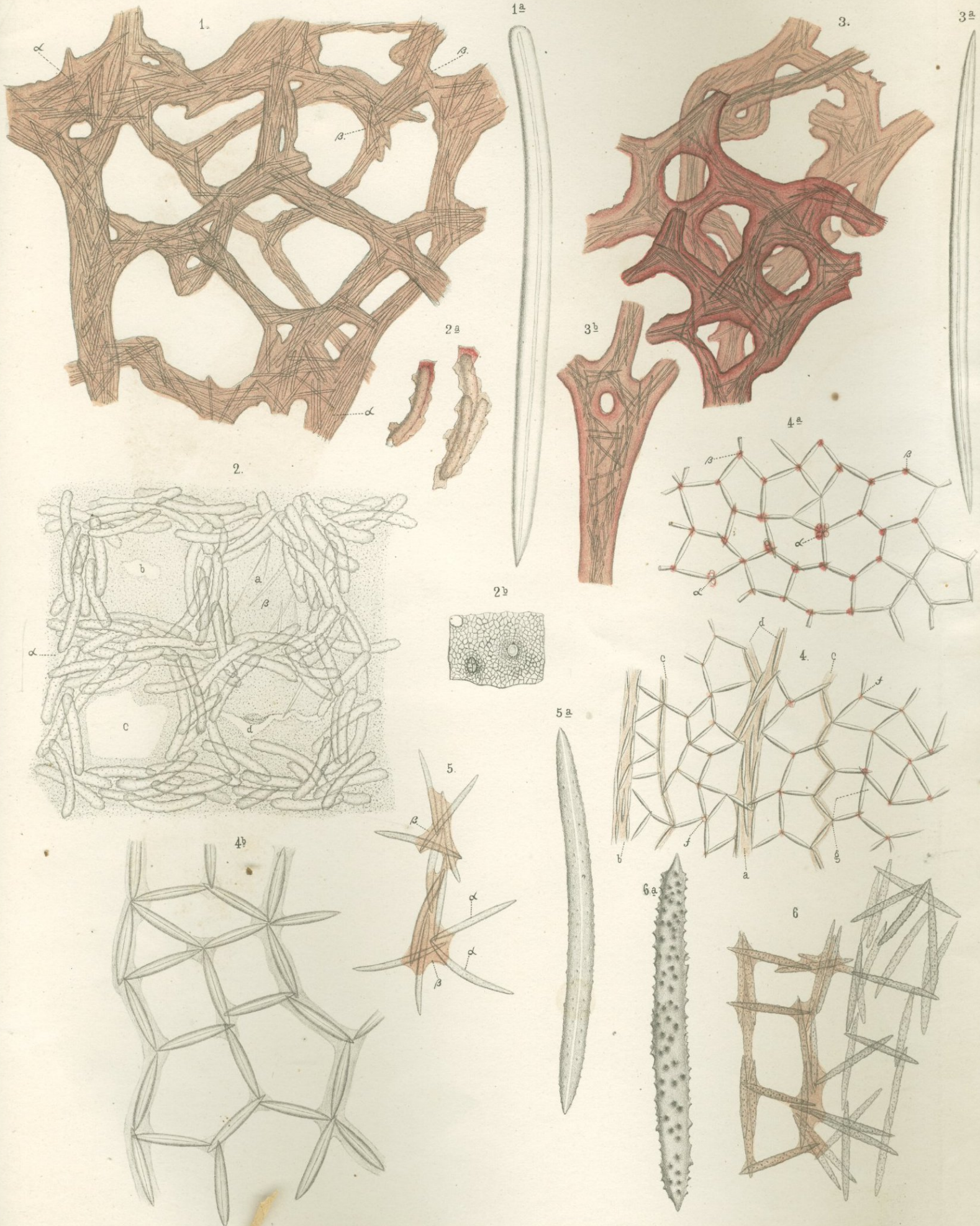


4
x 75



1
x 75







6823

Ouvrages publiés dans la VII. Série des Mémoires de l'Académie Impériale des Sciences par rapport aux animaux évertébrés:

- T. IV, № 5. **Paulson, O.** Zur Anatomie von Diplozoon paradoxum. 1862. Mit 1 Taf. Pr. 30 K. = 1 Mk.
 № 8. **Weisse, J. F.** Zur Oologie der Räderthiere. 1862. Mit 1 Taf. Pr. 25 K. = 80 Pf.
- T. V, № 5. **Knoch, J.** Die Naturgeschichte des breiten Bandwurms (*Bothriocephalus latus* Auctt.) mit besonderer Berücksichtigung seiner Entwicklungsgeschichte. 1862. Mit 2 Taf. Pr. 1 R. 25 K.=4 Mk. 20 Pf.
- T. VI, № 3. **Morawitz, A.** Beitrag zur Käferfauna der Insel Iesso. Lief. I. Cicindelidae et Carabici. 1863. Pr. 70 K. = 2 Mk. 30 Pf.
 № 10. **Owsjannikow, Ph.** Ueber die feinere Structur des Kopfganglions bei den Krebsen, besonders beim *Palinurus locusta*. 1863. Mit 1 Taf. Pr. 25 K. = 80 Pf.
- T. VIII, № 1. **Bremer, O.** Lepidopteren Ost-Sibiriens, insbesondere des Amur-Landes. 1864. Mit 8 Taf. Pr. 2 R. 30 K. = 7 Mk. 70 Pf.
- T. X, № 2. **Kowalewsky, A.** Beiträge zur Anatomie und Entwicklungsgeschichte des *Loxosoma neapolitanum* sp. n. 1866. Mit 1 Taf. Pr. 25 K. = 80 Pf.
 № 3. **Kowalewsky, A.** Anatomie des *Balanoglossus delle Chiaje*. 1866. Mit 3 Taf. Pr. 45 K.=1 Mk. 50 Pf.
 № 4. **Kowalewsky, A.** Entwicklungsgeschichte der Rippenquallen. 1866. Mit 5 Taf. Pr. 75 K.=2 Mk. 50 Pf.
 № 8. **Stepanof, P.** Ueber Geschlechtsorgane und Entwicklung von *Ancylus fluviatilis*. 1866. Mit 1 Taf. Pr. 25 K. = 80 Pf.
 № 15. **Kowalewsky, A.** Entwicklungsgeschichte der einfachen Ascidien. 1866. Mit 3 Taf. Pr. 45 K.=1 Mk. 50 Pf.
- T. XI, № 3. **Owsjannikow, Ph., u. Kowalewsky, A.** Ueber das Centralnervensystem und das Gehörorgan der Cephalopoden. 1867. Mit 5 Taf. Pr. 80 K. = 2 Mk. 70 Pf.
 № 6. **Kowalewsky, A.** Beiträge zur Entwicklungsgeschichte der Holothurien. 1867. Mit 1 Taf. Pr. 25 K.= 80 Pf.
 № 17. **Owsjannikow, Ph.** Ein Beitrag zur Kenntniss der Leuchtorgane von *Lampyrus noctiluca*. 1868. Mit 1 Taf. Pr. 25 K. = 80 Pf.
- T. XIII, № 1. **Brandt, A.** Beiträge zur Entwicklungsgeschichte der Libelluliden und Hemipteren mit besonderer Berücksichtigung der Embryonalhülle derselben. 1869. Mit 3 Taf. Pr. 55 K. = 1 Mk. 80 Pf.
- T. XIV, № 5. **Ganin, M.** Ueber die Embryonalhülle der Hymenopteren- und Lepidopteren-Embryonen. 1869. Mit 1 Taf. Pr. 30 K. = 1 Mk.
 № 8. **Metschnikof, E.** Studien über die Entwicklung der Echinodermen und Nemertinen. 1869. Mit 12 Taf. Pr. 1 R. 70 K. = 5 Mk. 70 Pf.
- T. XV, № 3. **Miklucho-Maclay, N.** Ueber einige Schwämme des nördlichen Stillen Oceans und des Eismeer. Ein Beitrag zur Morphologie und Verbreitung der Spongien. 1870. Mit 2 Taf. Pr. 40 K.=1 Mk. 30 Pf.
 № 8. **Grimm, O.** Die ungeschlechtliche Fortpflanzung einer *Chironomus*-Art und deren Entwicklung aus dem unbefruchteten Ei. 1870. Mit 3 Taf. Pr. 50 K. = 1 Mk. 70 Pf.
- T. XVI, № 6. **Brandt, A.** Ueber *Rhizostoma Cuvieri* Lmk. Ein Beitrag zur Morphologie der vielmundigen Medusen. 1870. Mit 1 Taf. Pr. 45 K. = 1 Mk. 50 Pf.
 № 8. **Brandt, A.** Anatomisch-histologische Untersuchungen über den *Sipunculus nudus* L. 1870. Mit 2 Taf. Pr. 60 K. = 2 Mk.
 № 12. **Kowalewsky, A.** Embryologische Studien an Würmern und Arthropoden. 1871. Mit 12 Taf. Pr. 1 R. 70 K. = 5 Mk. 70 Pf.
- T. XVII, № 12. **Grimm, O.** Beiträge zur Lehre von der Fortpflanzung und Entwicklung der Arthropoden. 1872. Mit 1 Taf. Pr. 30 K. = 1 Mk.
- T. XIX, № 8. **Baer, K. E. v.** Entwickelt sich die Larve der einfachen Ascidien in der ersten Zeit nach dem Typus der Wirbelthiere? 1873. Mit 1 Taf. Pr. 40 K. = 1 Mk. 30 Pf.
- T. XXI, № 12. **Brandt, A.** Ueber die Eiröhren der *Blatta (Periplaneta) orientalis*. 1874. Mit 1 Taf. Pr. 40 K.=1 Mk. 30 Pf.
- T. XXII, № 8. **Dybowsky, W.** Die Gasteropoden-Fauna des Baikal-Sees, anatomisch und systematisch bearbeitet. 1875. Mit 8 Taf. Pr. 1 R. 35 K. = 4 Mk. 50 Pf.
- T. XXIV, № 10. **Dogiel, J.** Anatomie und Physiologie des Herzens der Larve von *Corethra plumicornis*. 1877. Mit 2 Taf. Pr. 50 K. = 1 Mk. 70 Pf.
- T. XXV, № 8. **Grube, Ed.** Annulata Sempersiana. Beiträge zur Kenntniss der Annelidenfauna der Philippinen. 1878. Mit 15 Taf. Pr. 3 R. 70 K. = 12 Mk. 30 Pf.
- T. XXVI, № 7. **Merejkowsky, C.** Études sur les éponges de la mer Blanche. 1878. Avec 3 pl. Pr. 80 K.=2 Mk. 70 Pf.

6893